

Ad astra per aspera

Coprire grandi
luci

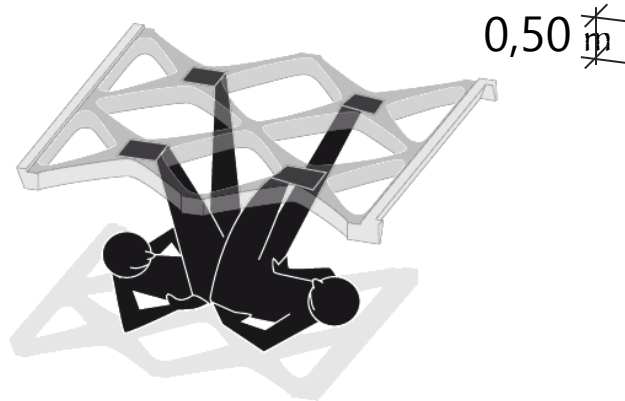
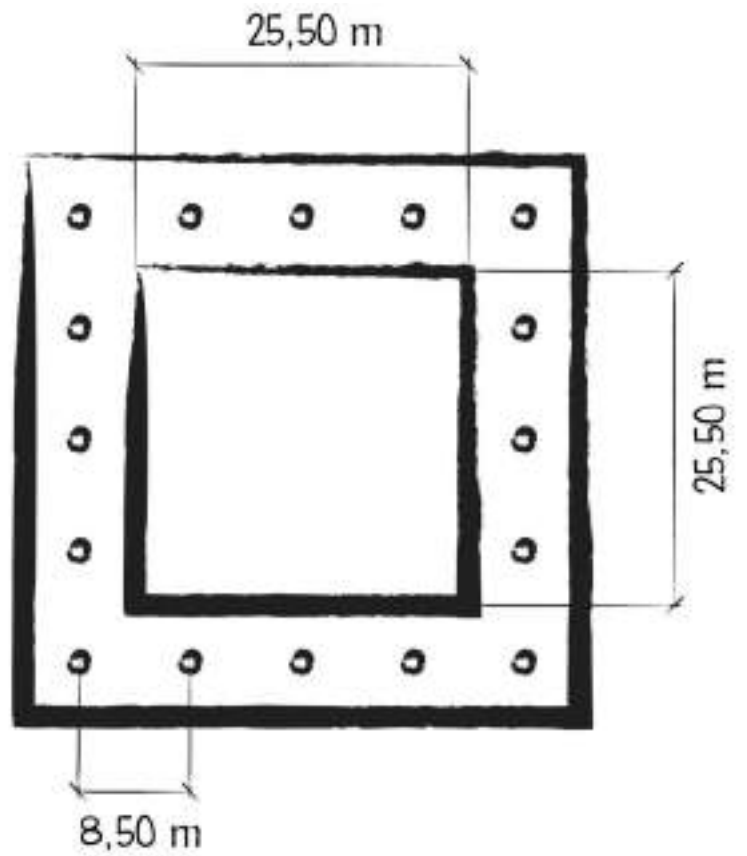
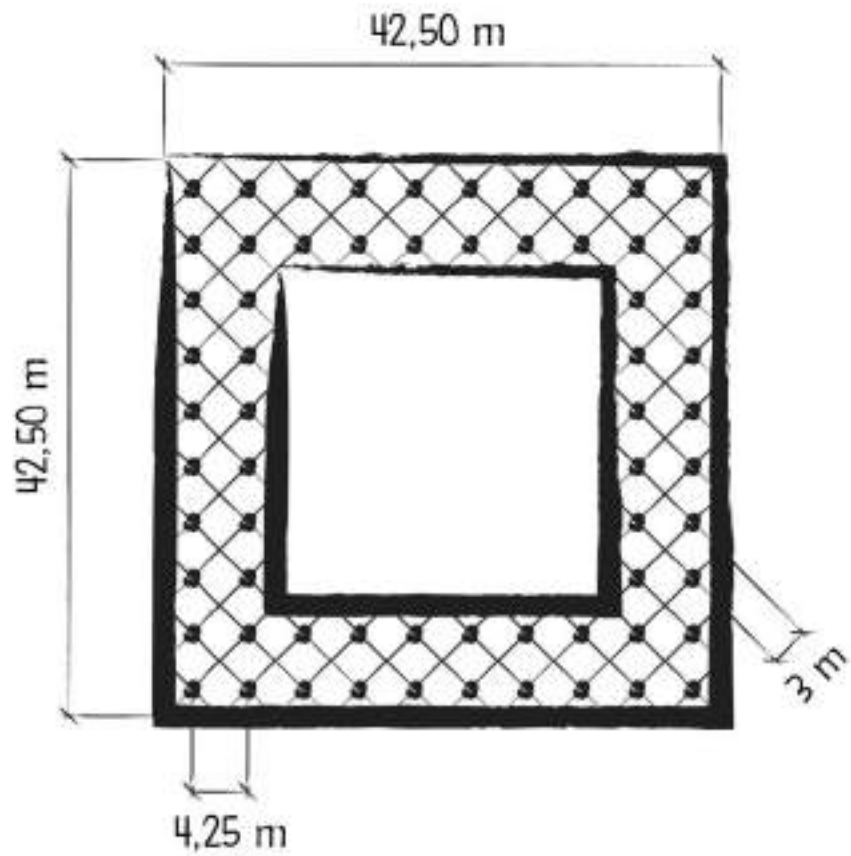
graticcio





ambasciata d'Italia
Brasilia | 1977 | P. I. nervi

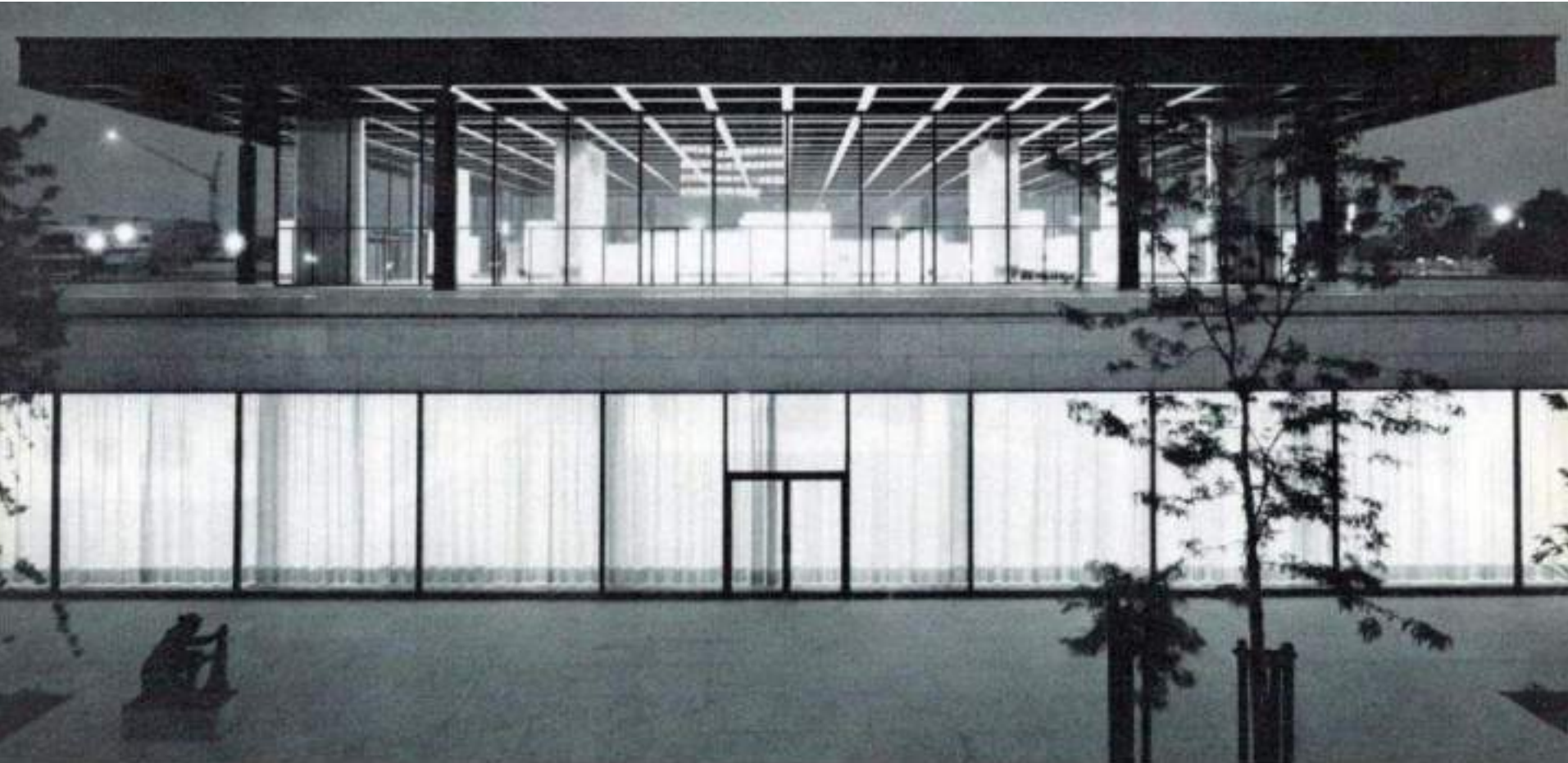


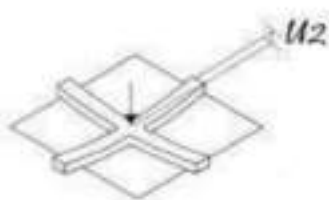
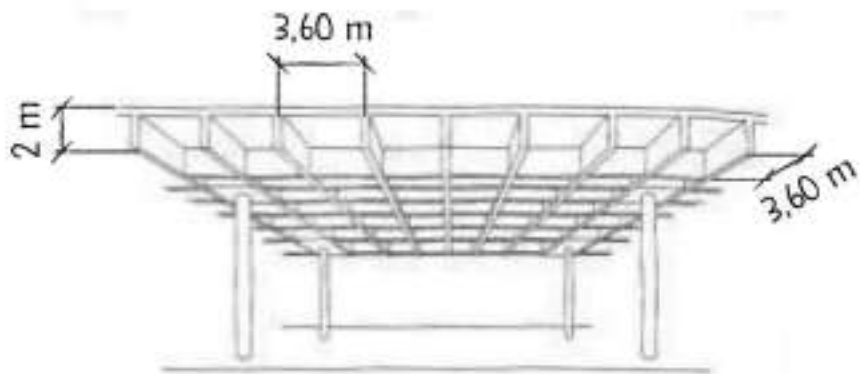
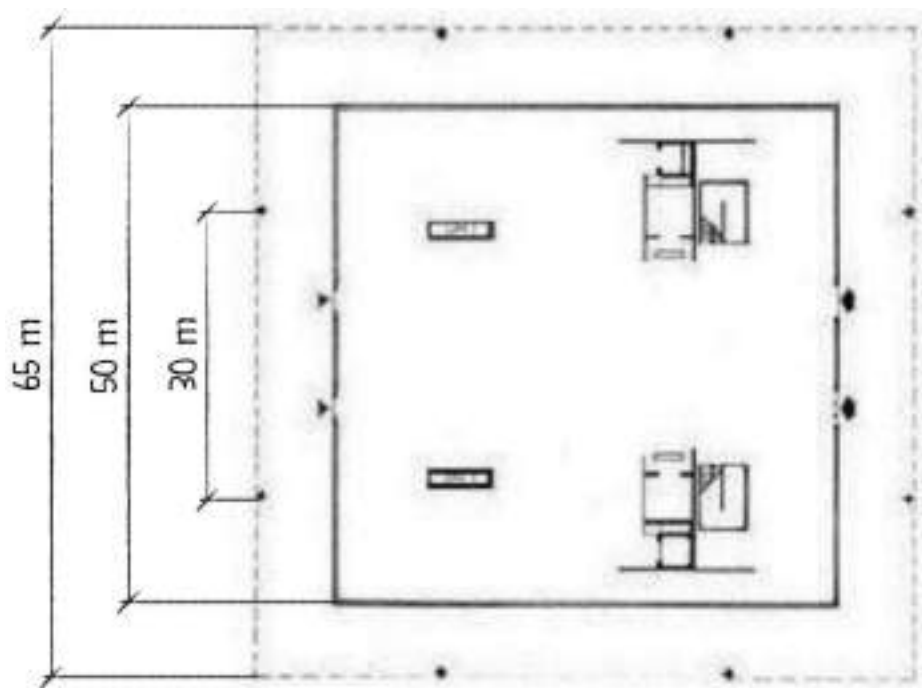




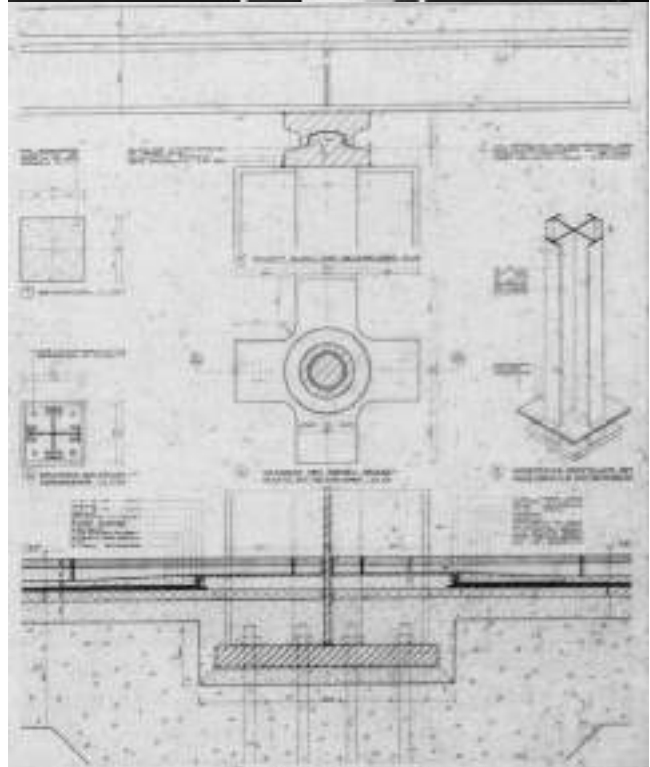
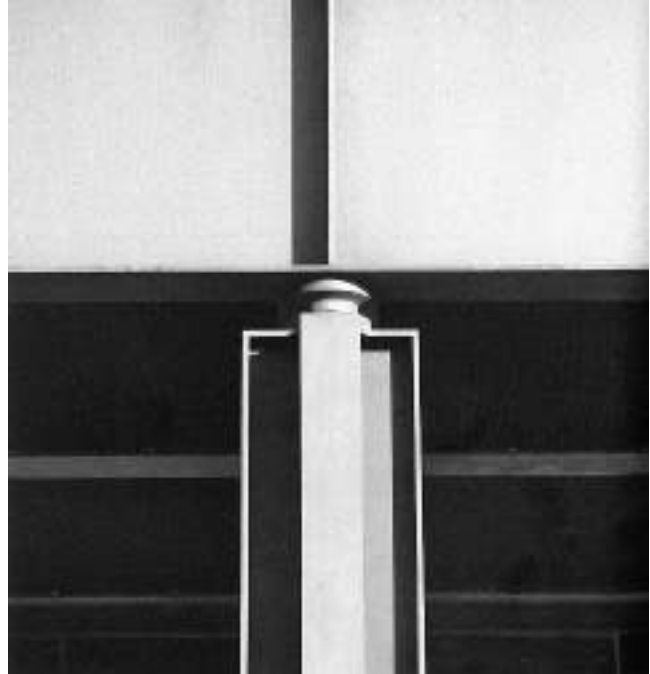
neue nationalgalerie

Berlino | 1968 | I. Mies van der Rohe





$$U1 < U2$$

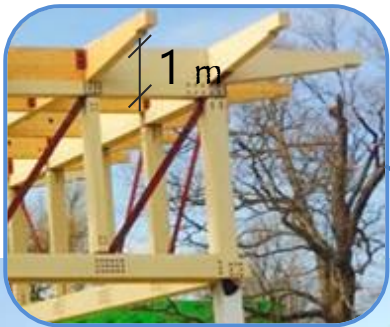
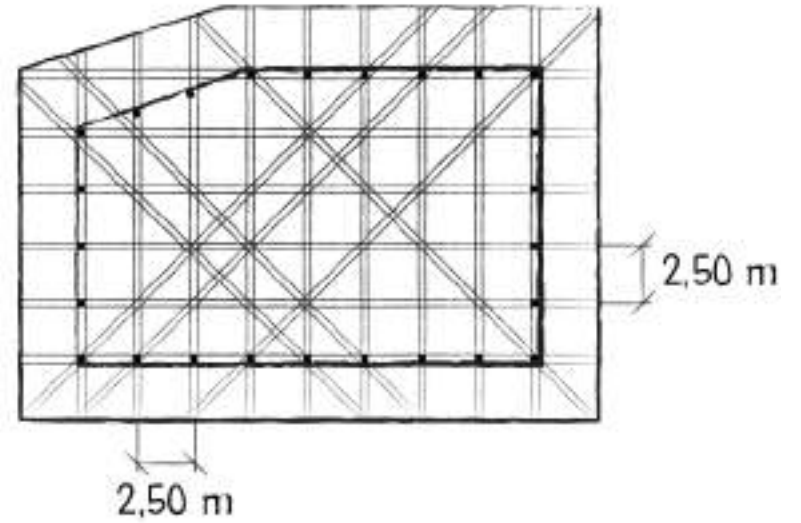
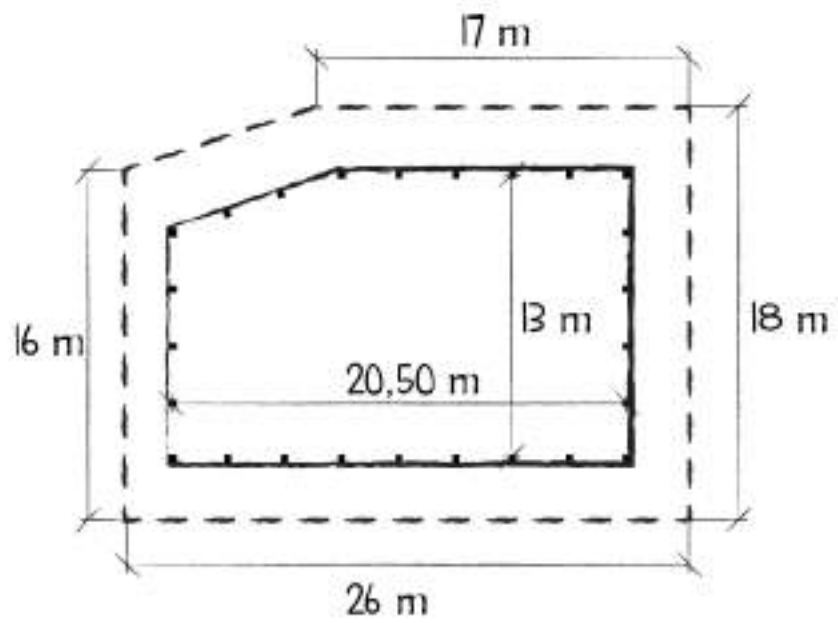




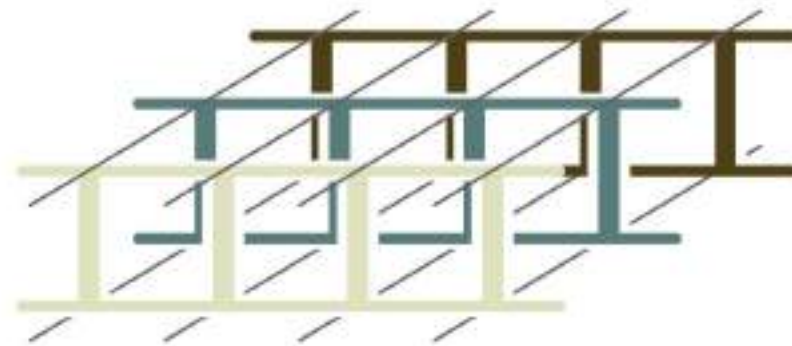
Writers' theatre

Glencoe | 2016 | Studio Gang Architects





Graticcio di vierendeel

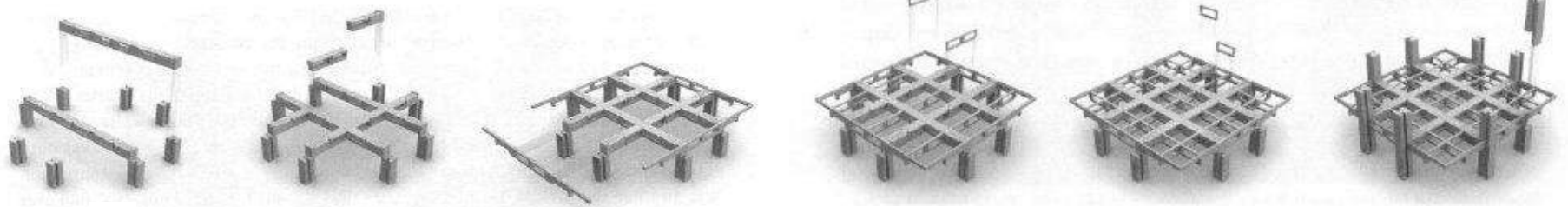
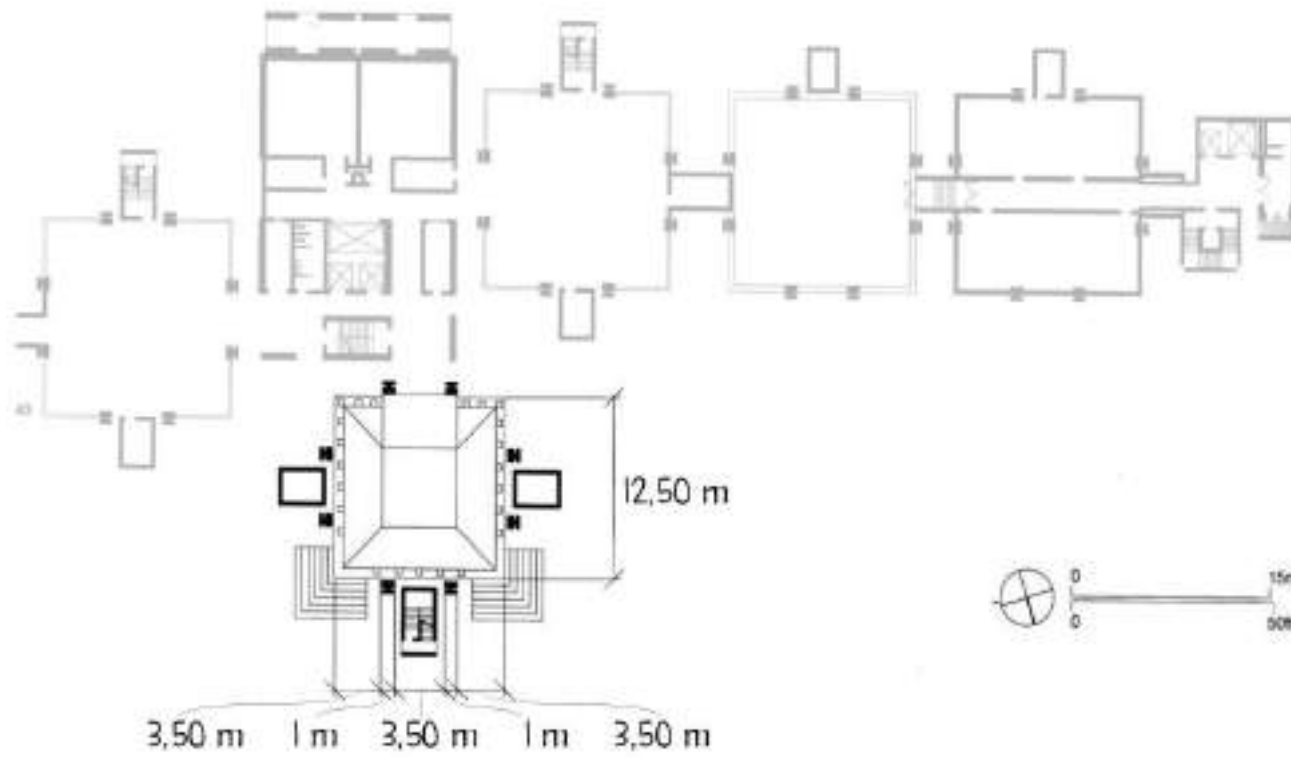


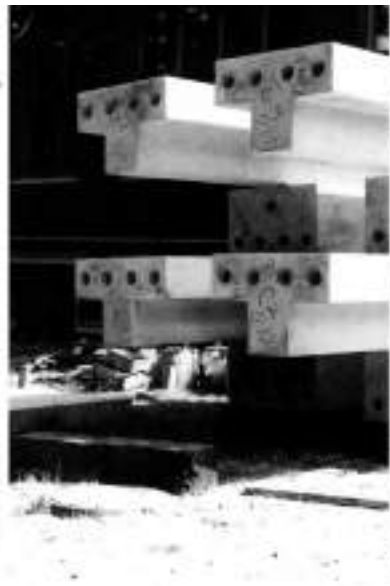
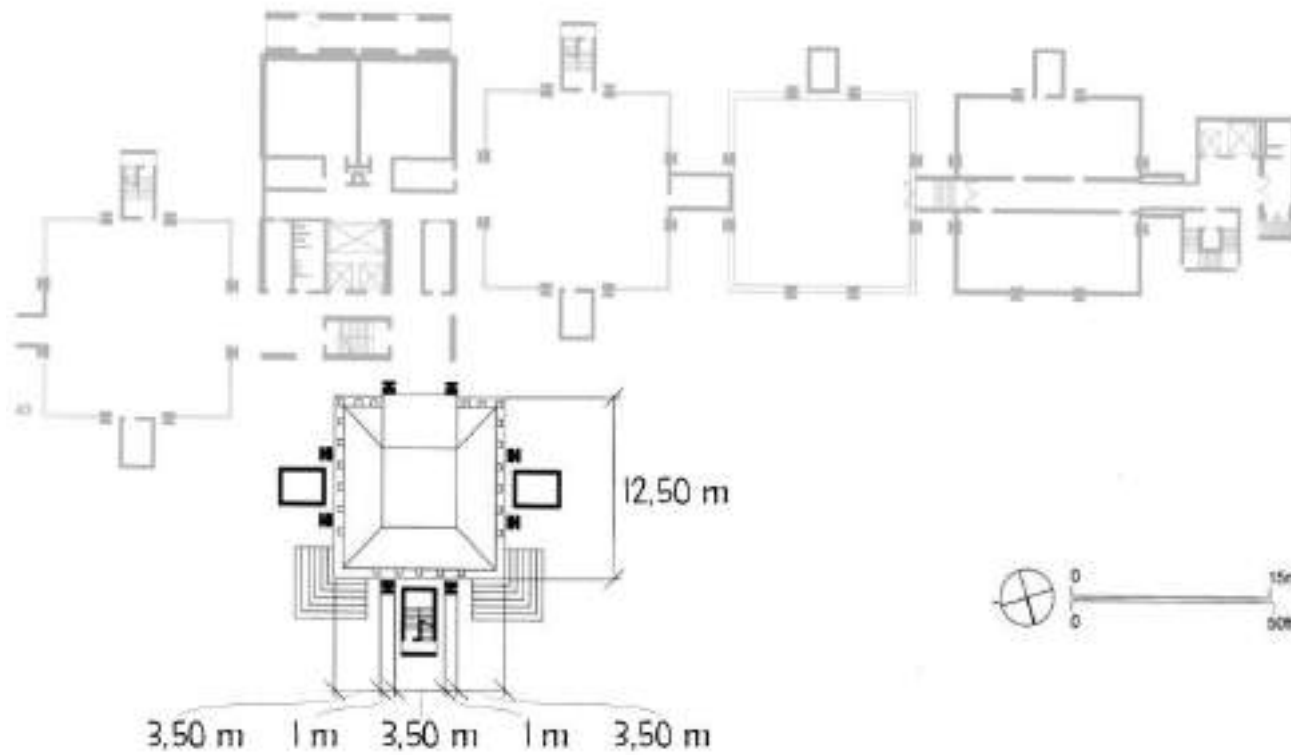


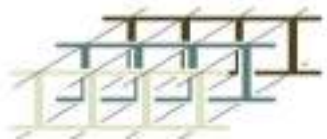
Medical Research Laboratory

Philadelphia | 1965 | L. Kahn





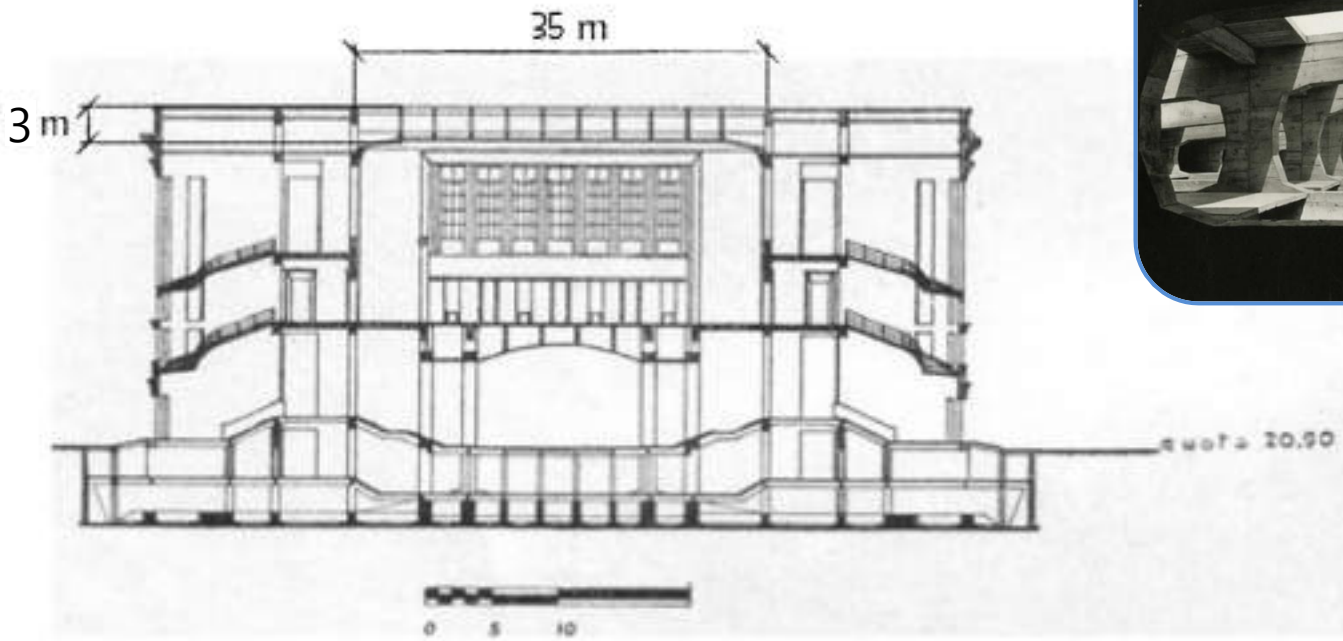
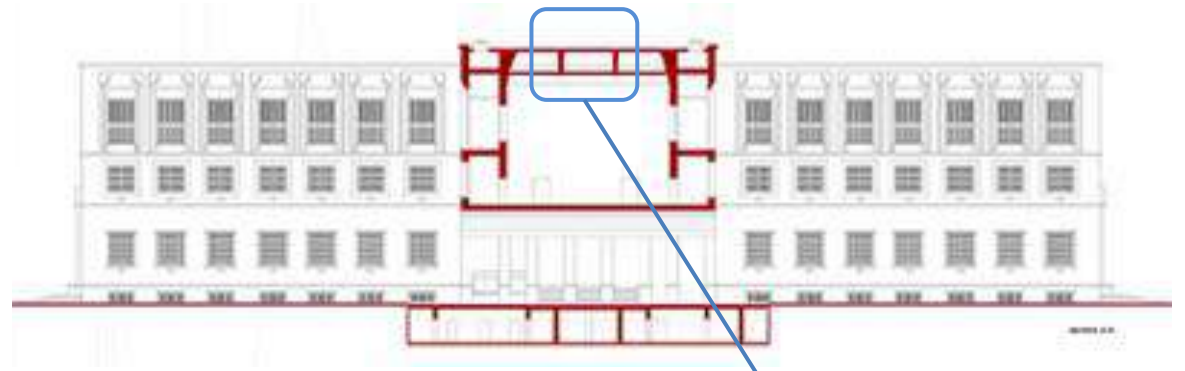
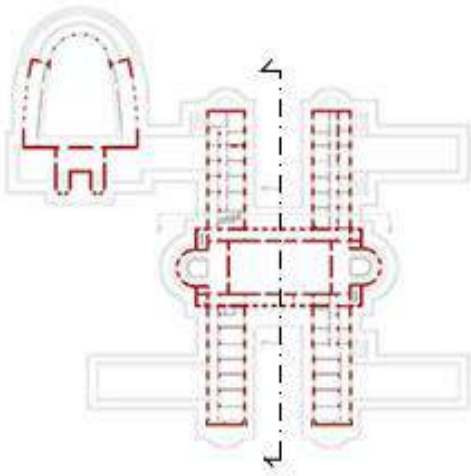




AULA MAGNA DELL'ACCADEMIA DI EDUCAZIONE FISICA

roma | 1932 | e. Del Debbio

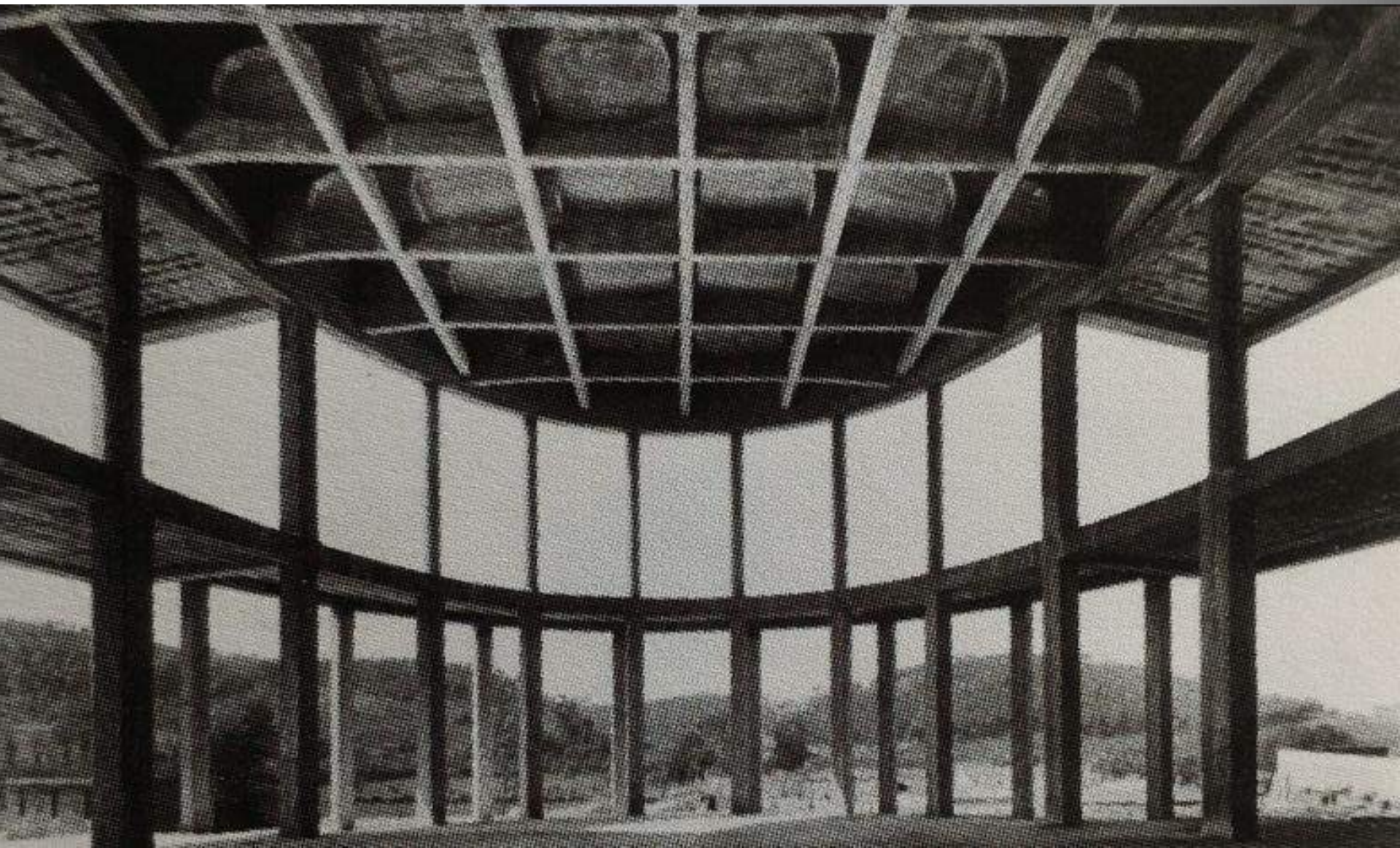


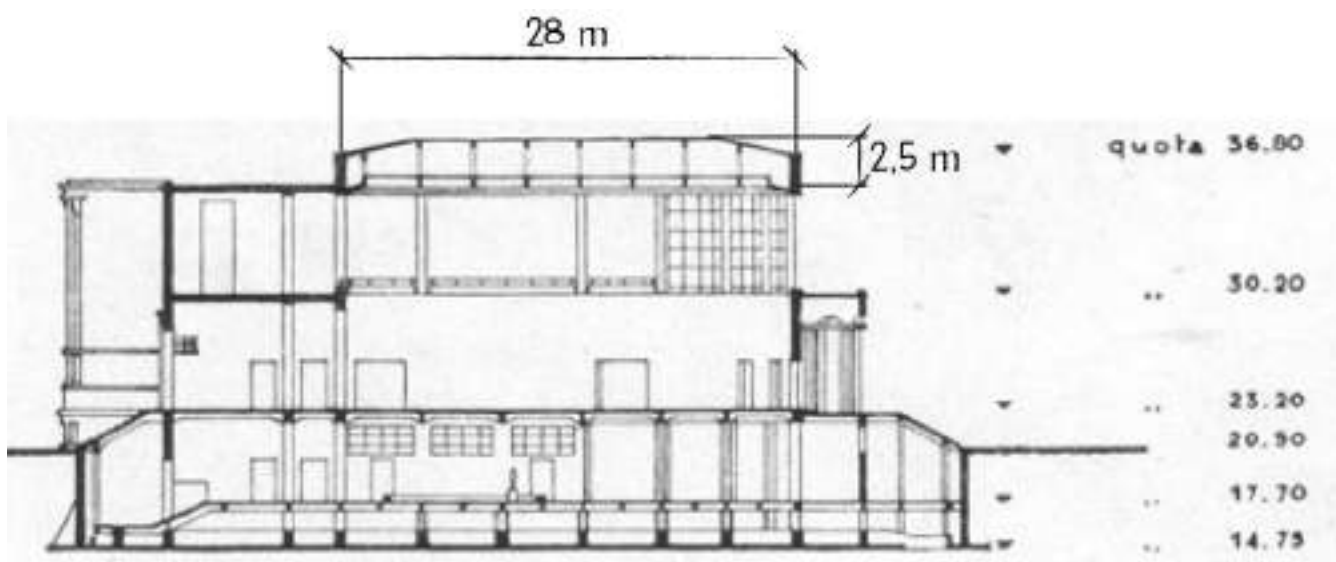
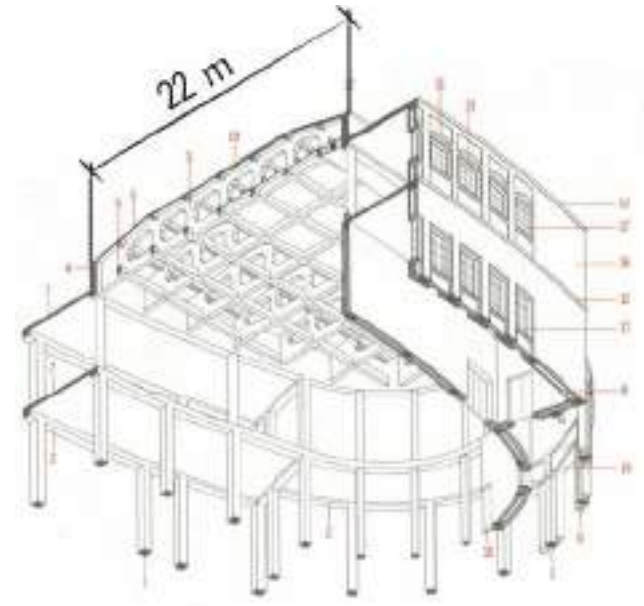




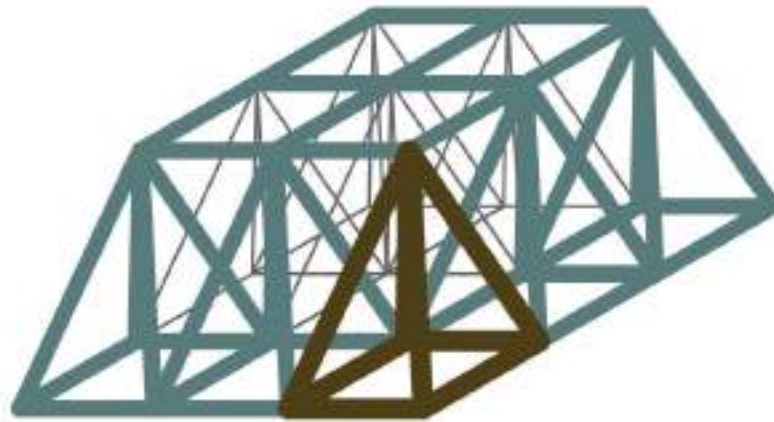
PALESTRA DEL FORO ITALICO

roma | 1932 | e. Del Debbio





Reticolare spaziale bilayer

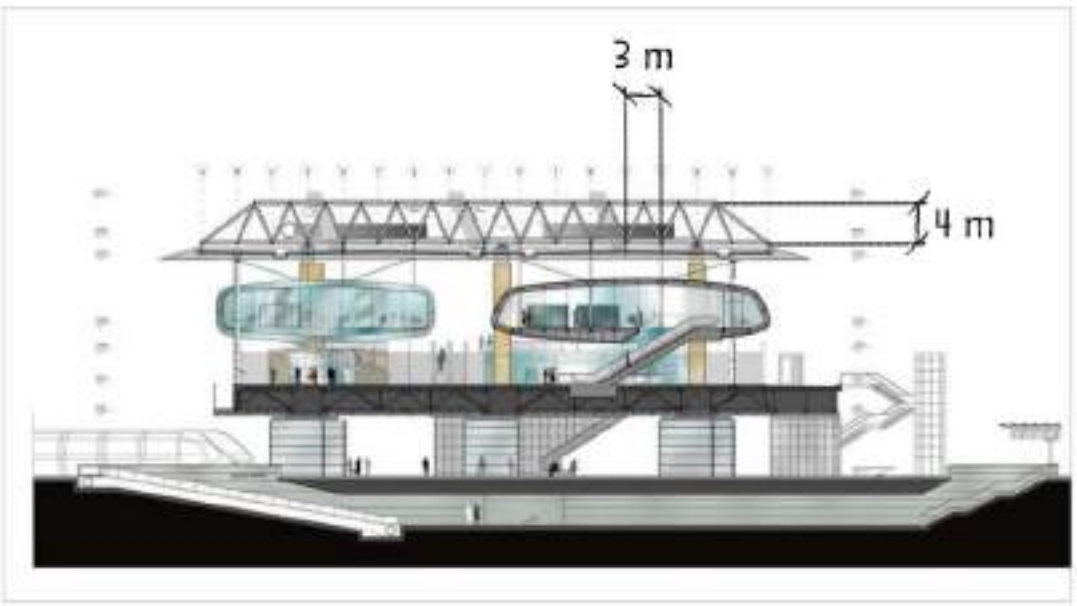
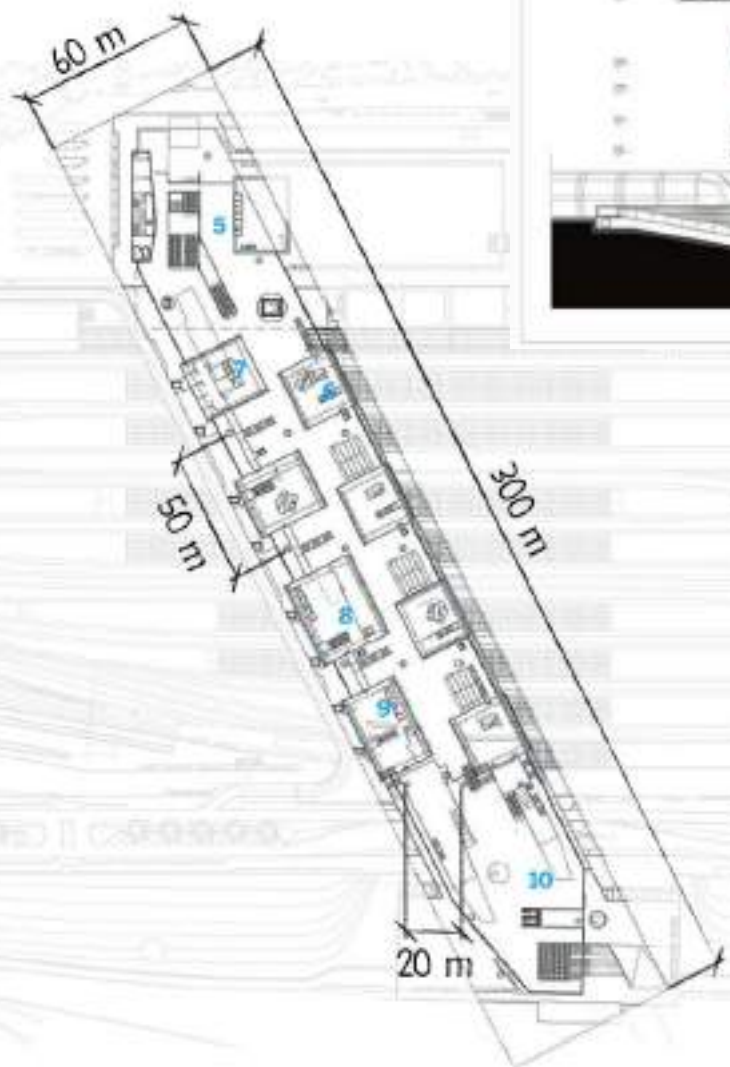




Stazione tiburtina

roma | 2011 | abdr





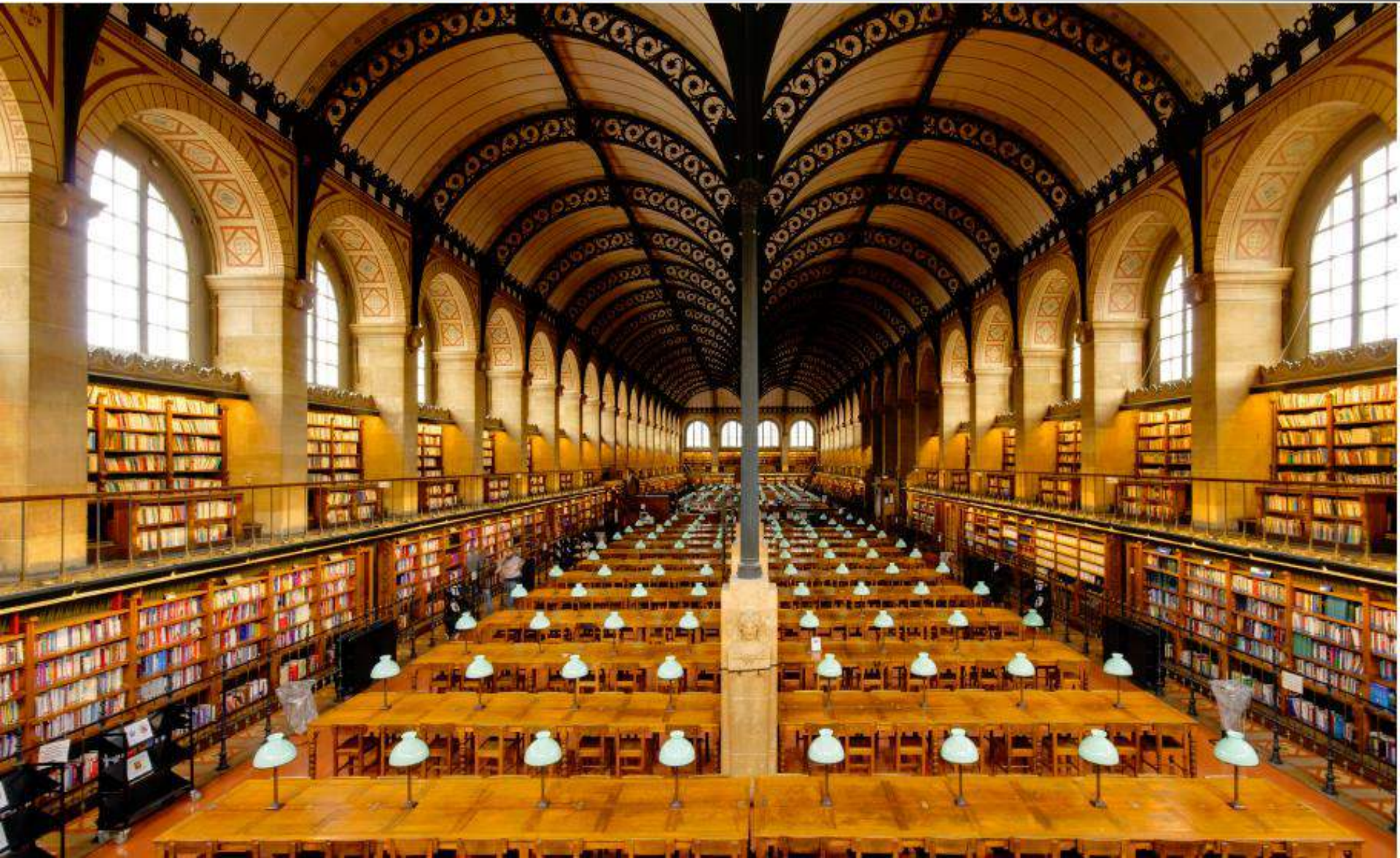
Successione di archi





Biblioteca Sainte-Geneviève

parigi | 1850 | H. Labrouste



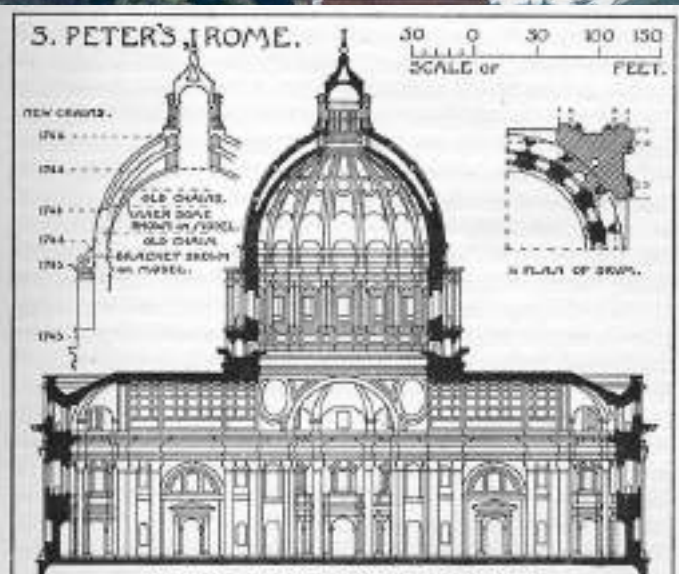
cupola





Basilica di San Pietro in Vaticano

roma | 1626 | Bramante



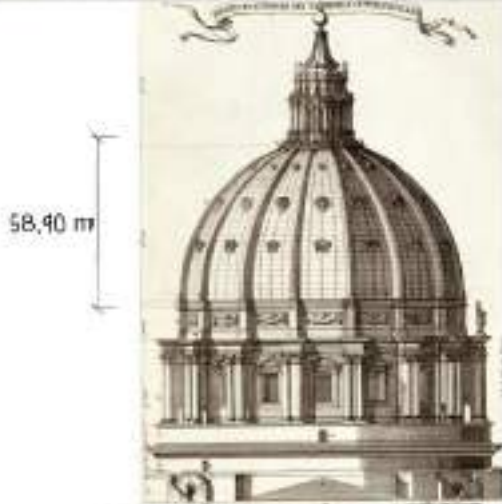
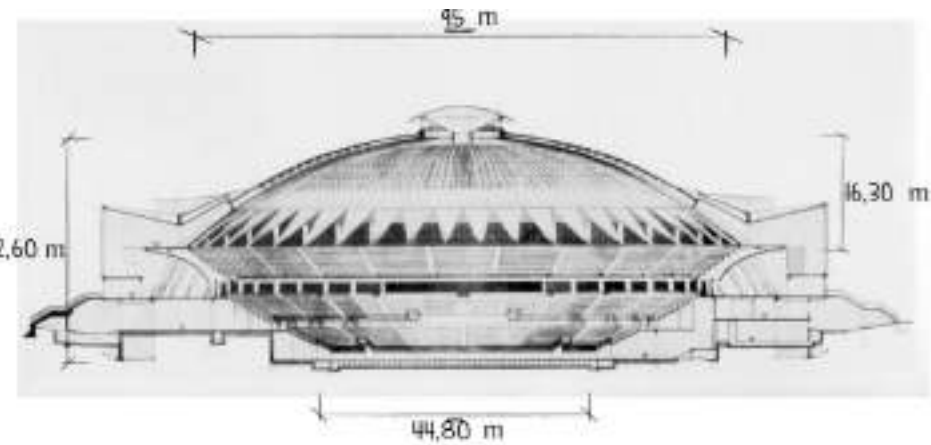


Basilica dei Ss. Pietro e Paolo

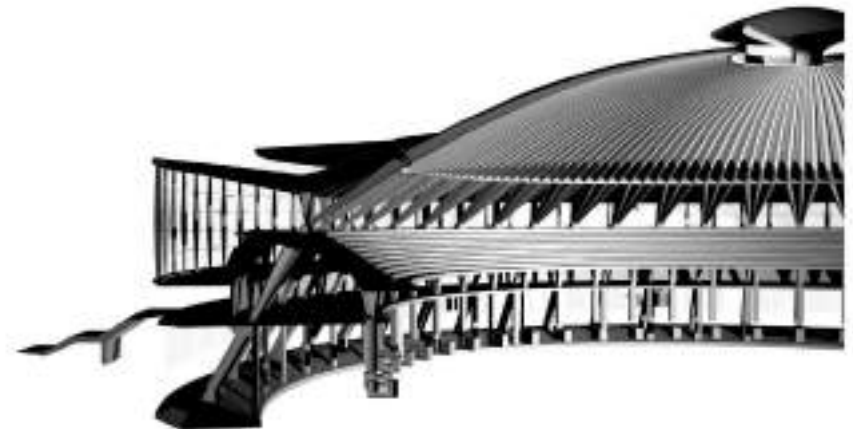
roma | 1955 | A. Foschini



Due tipologie di cupola a confronto...

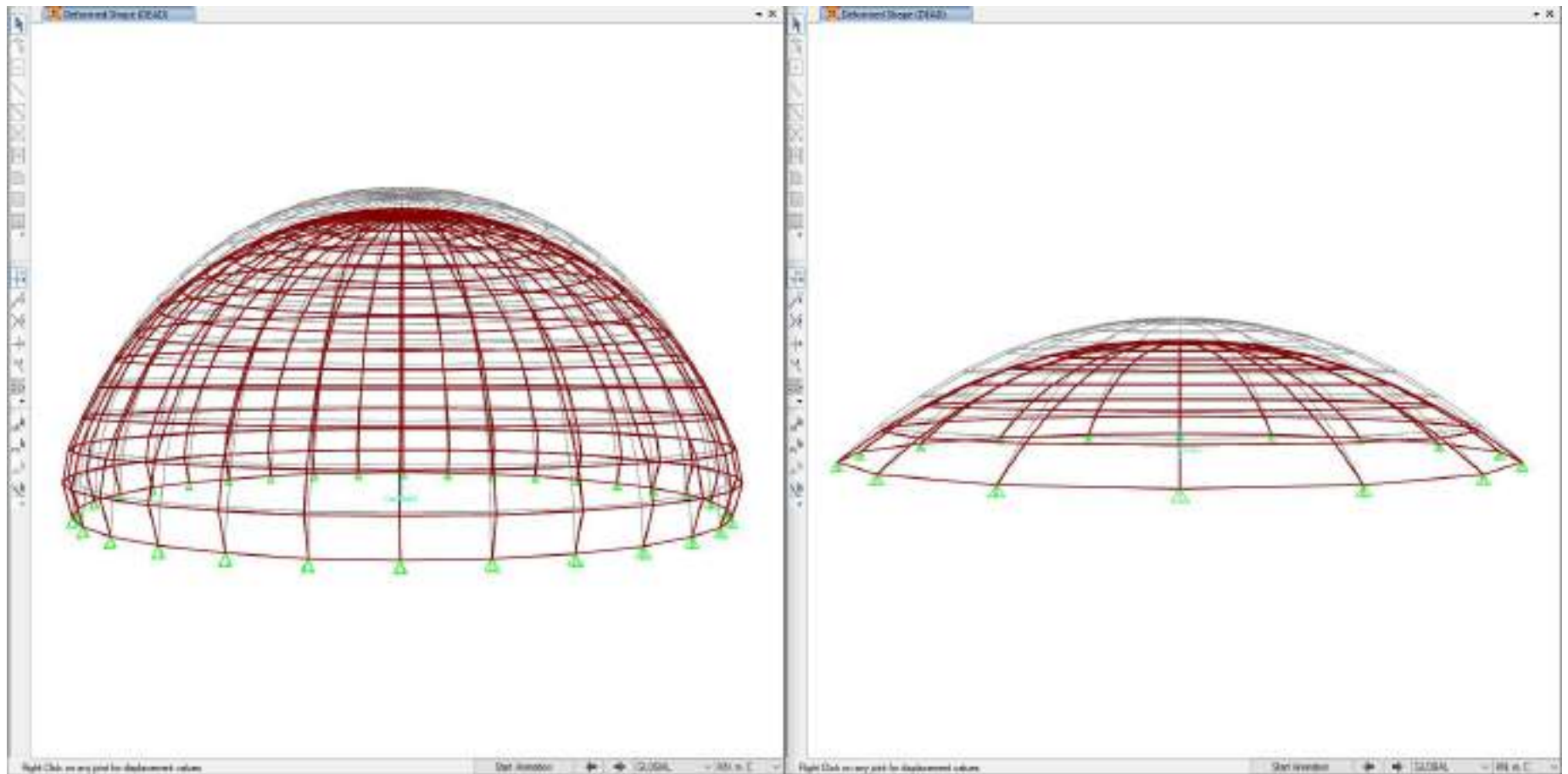


BASILICA DI SAN PIETRO, ROMA, M.BUONARROTI, 1546

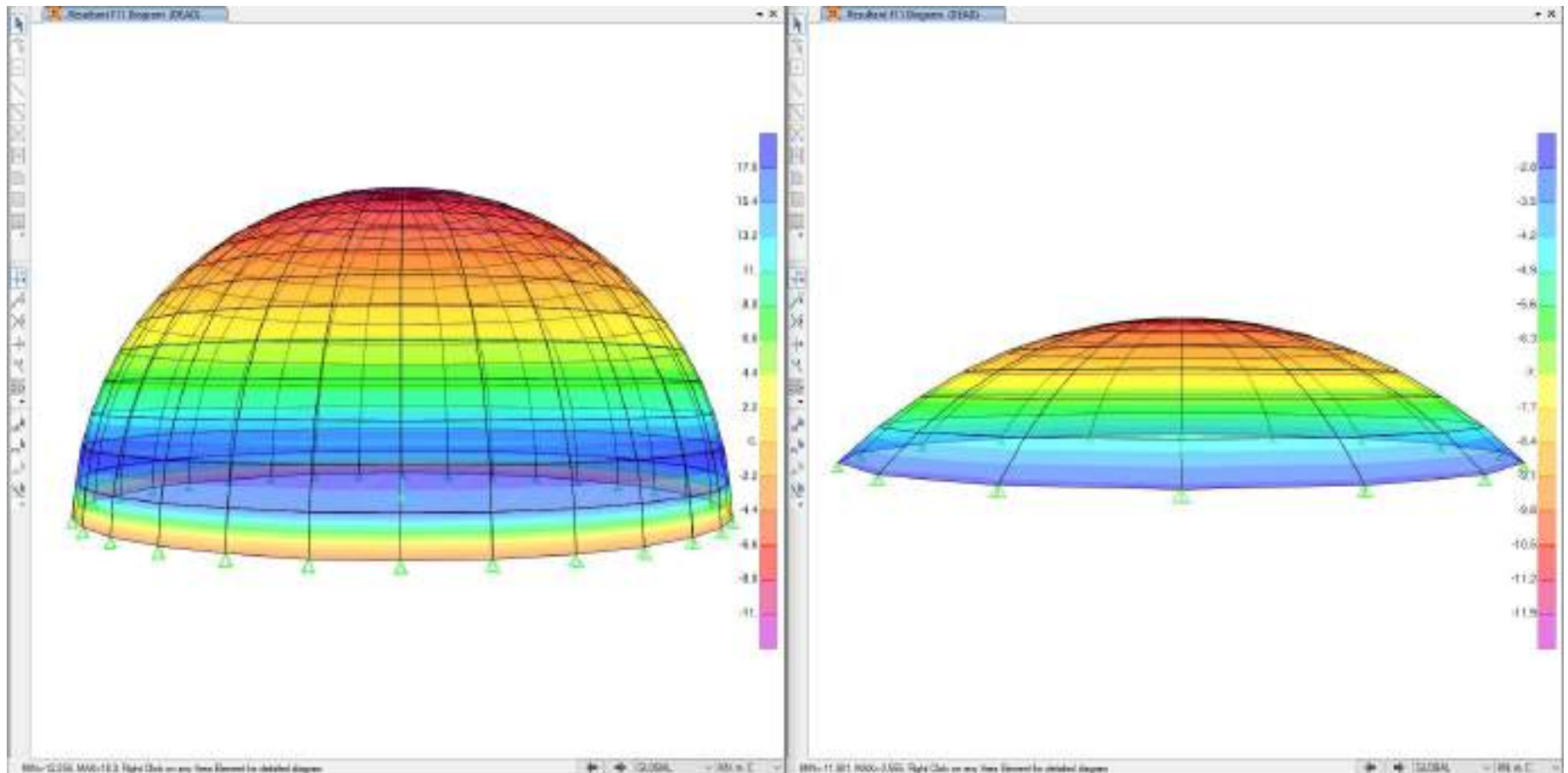


PALAZZO DELLO SPORT DI ROMA, M.PIACENTINI E P.L.NERVI, 1960

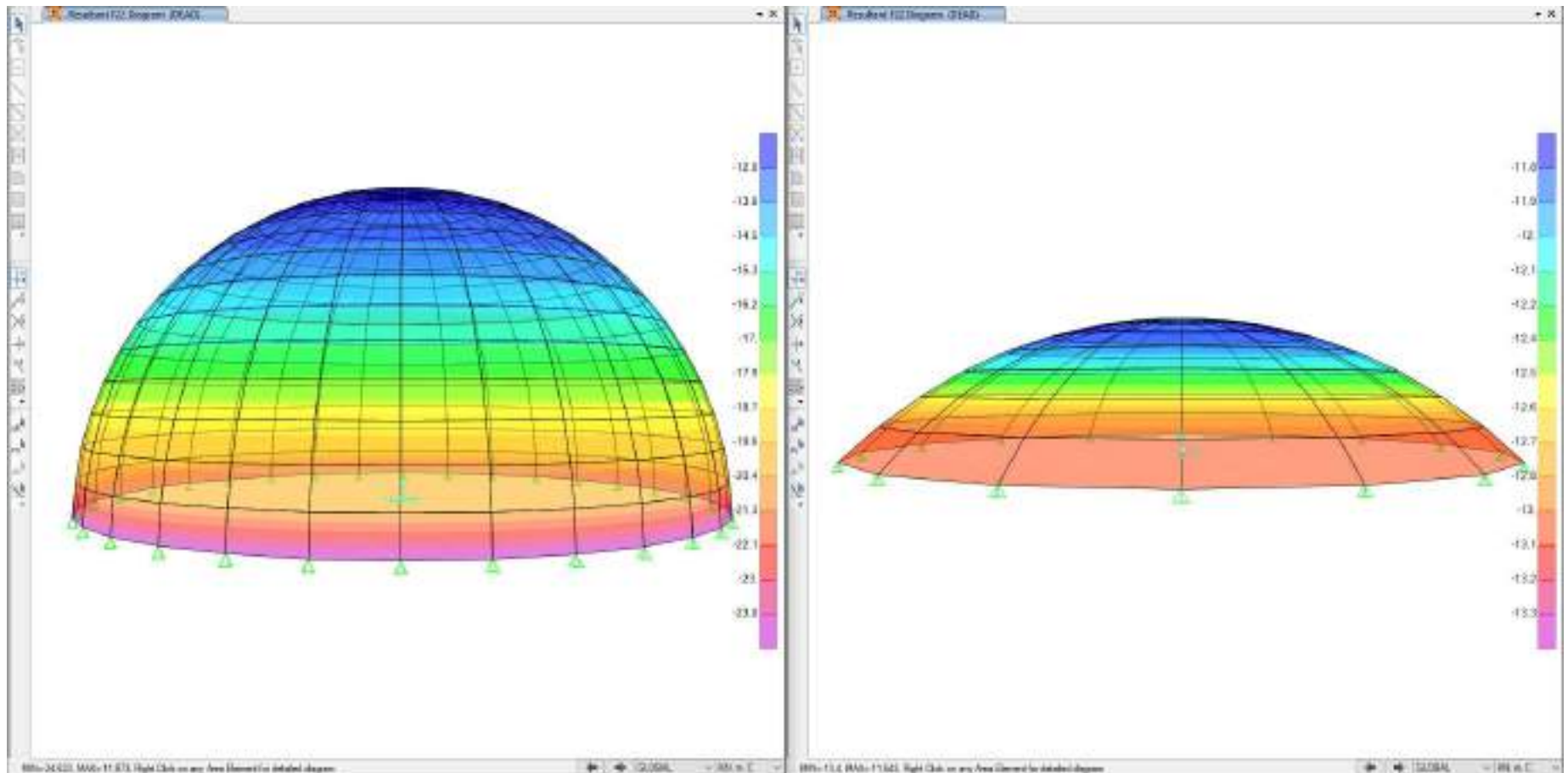
deformata



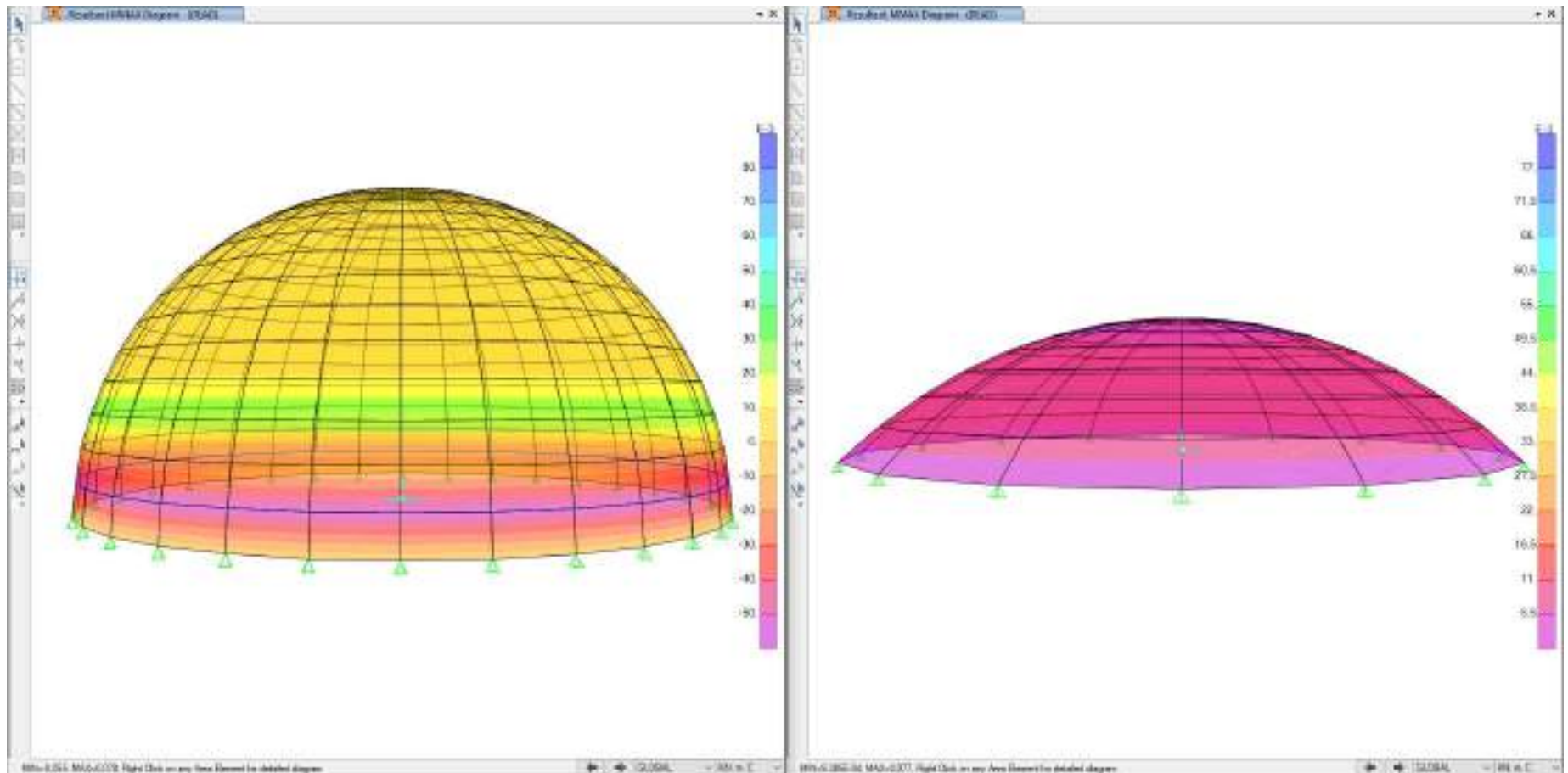
Sollecitazione sui paralleli



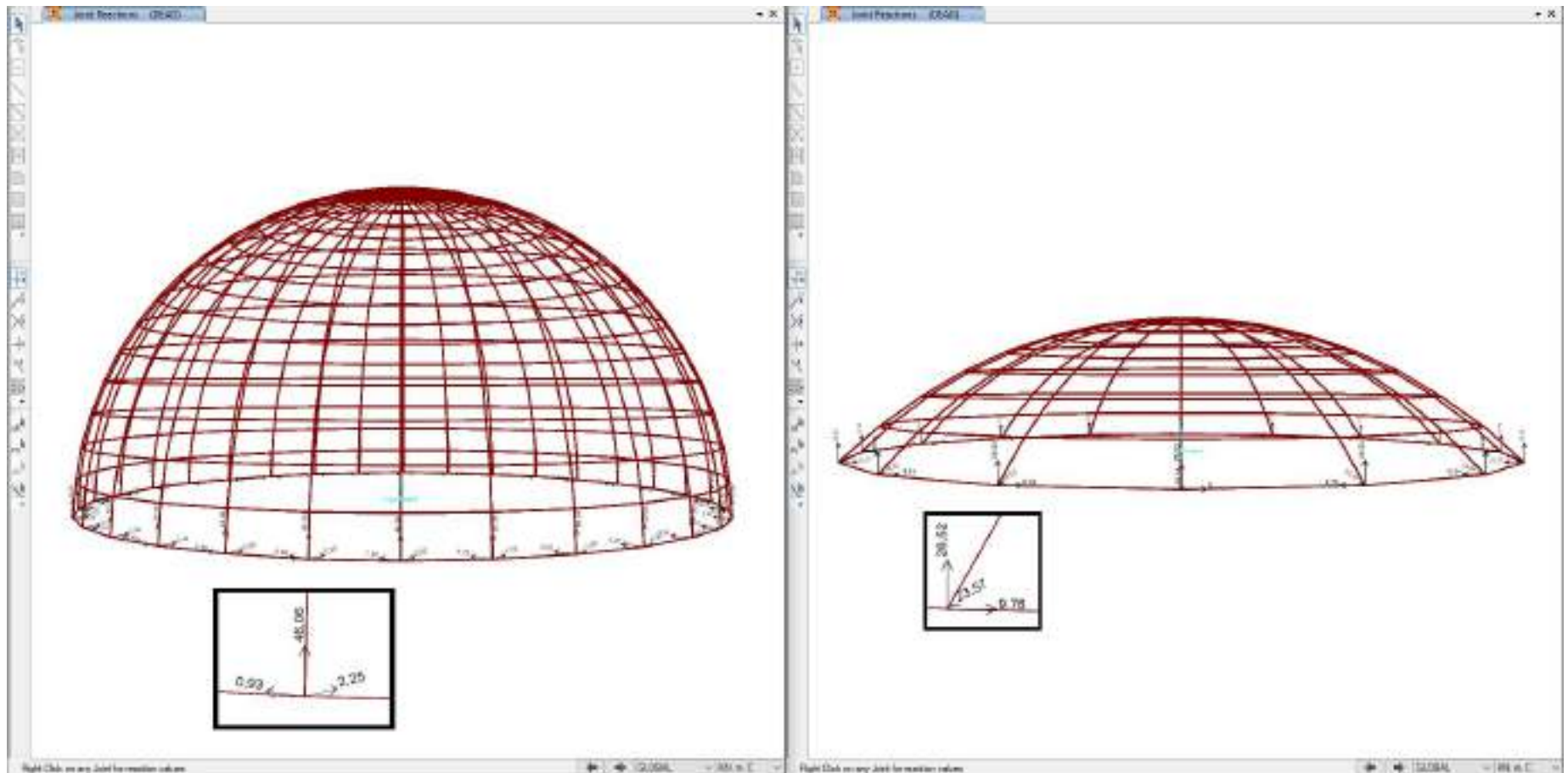
Sollecitazione sui meridiani



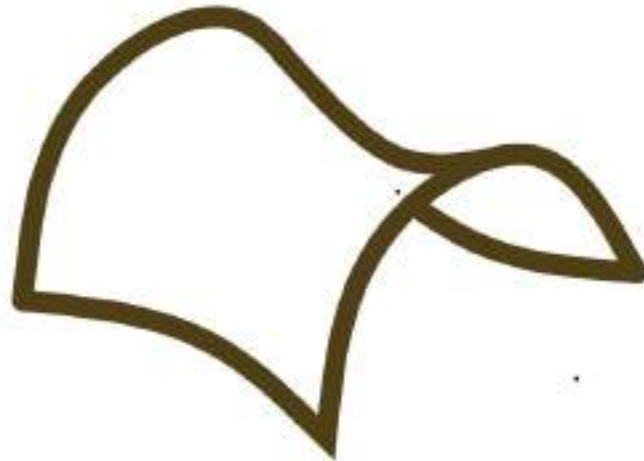
Momento flettente massimo



Reazioni vincolari



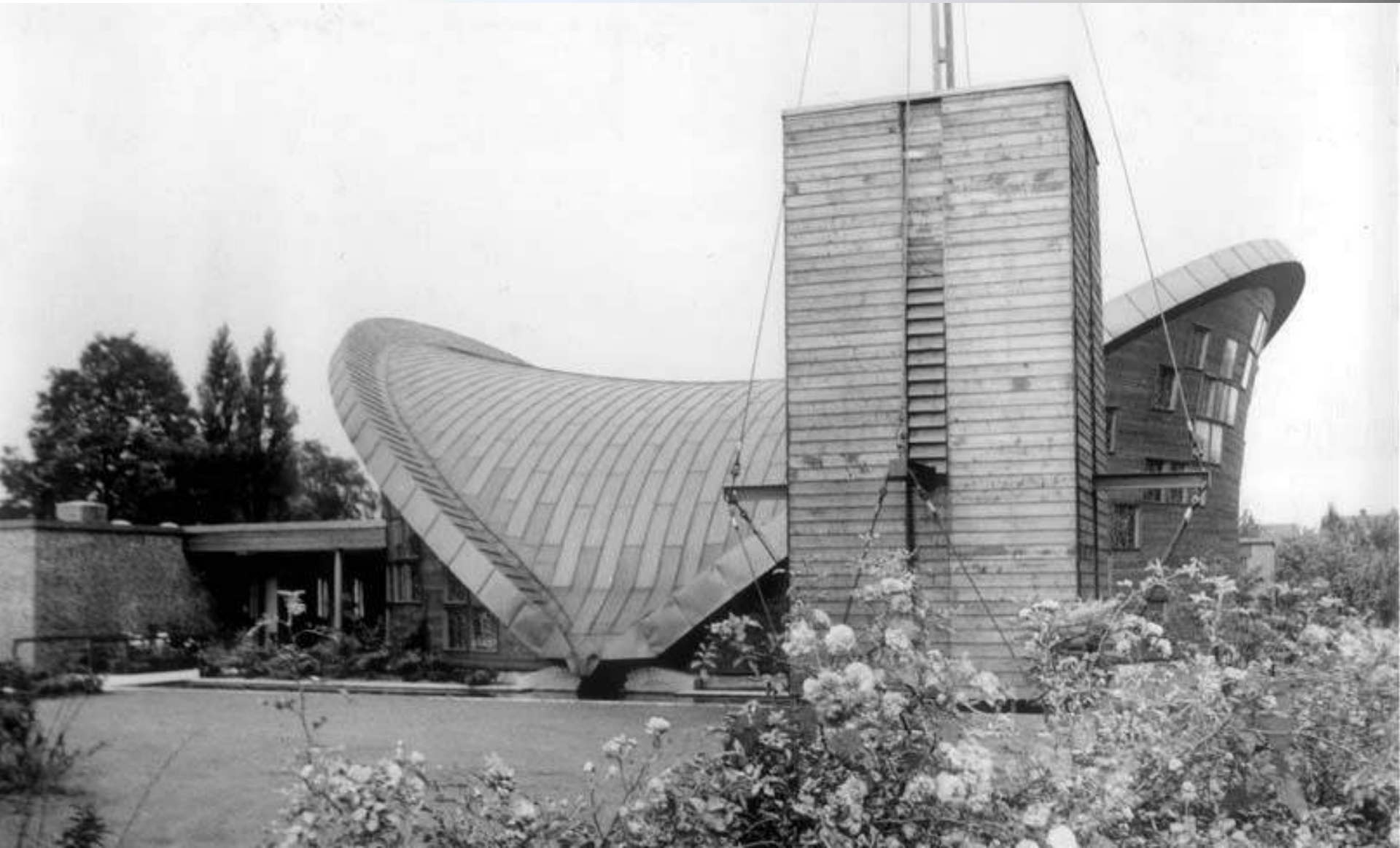
Paraboloide iperbolico

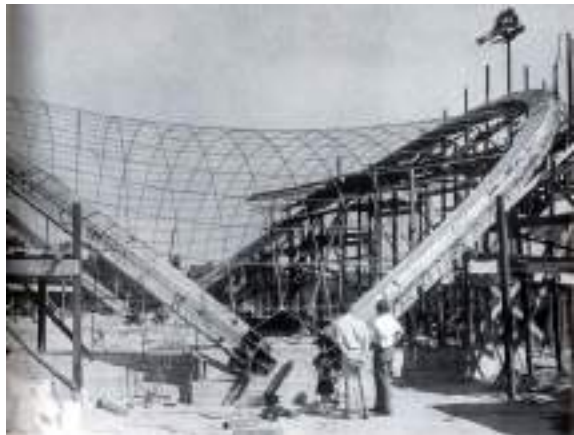
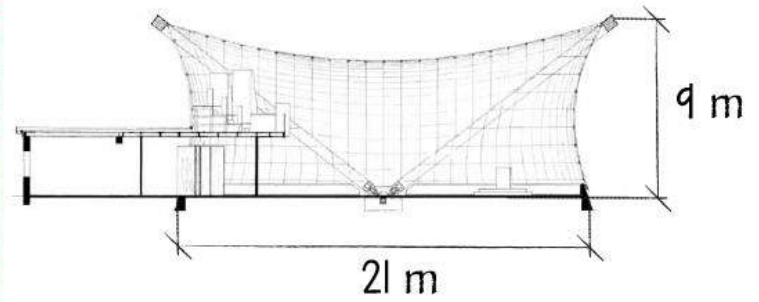
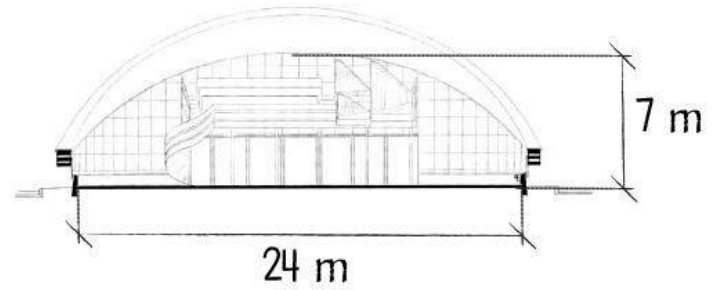
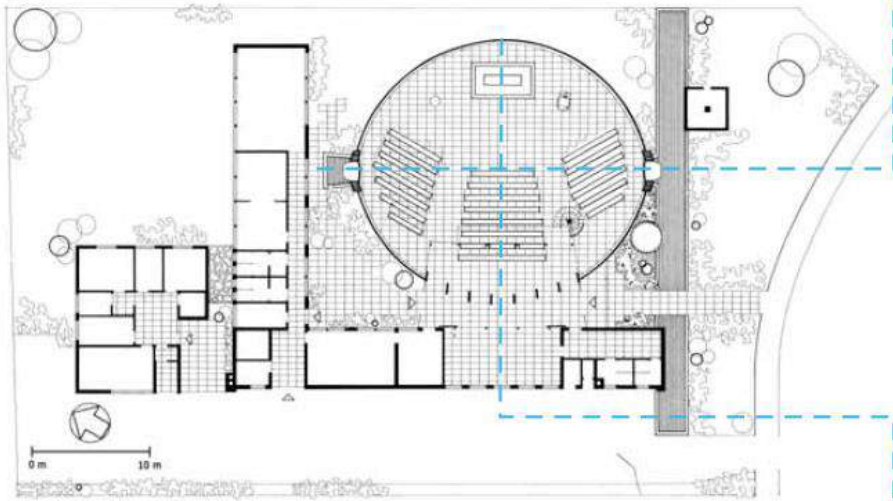




Iglesia de San Lucas

Bremen | 1963 | f. otto

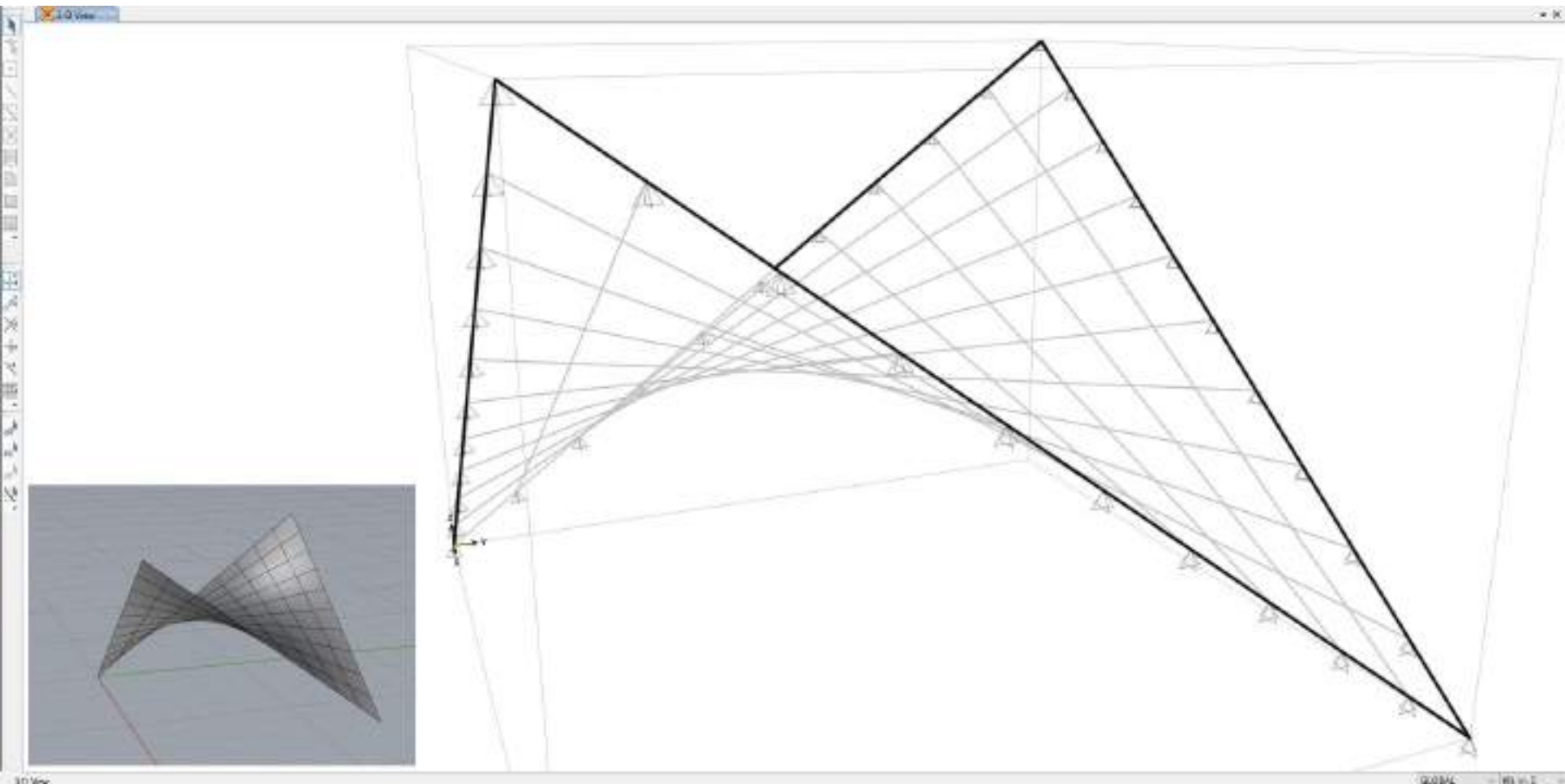






Modello geometrico e meccanico

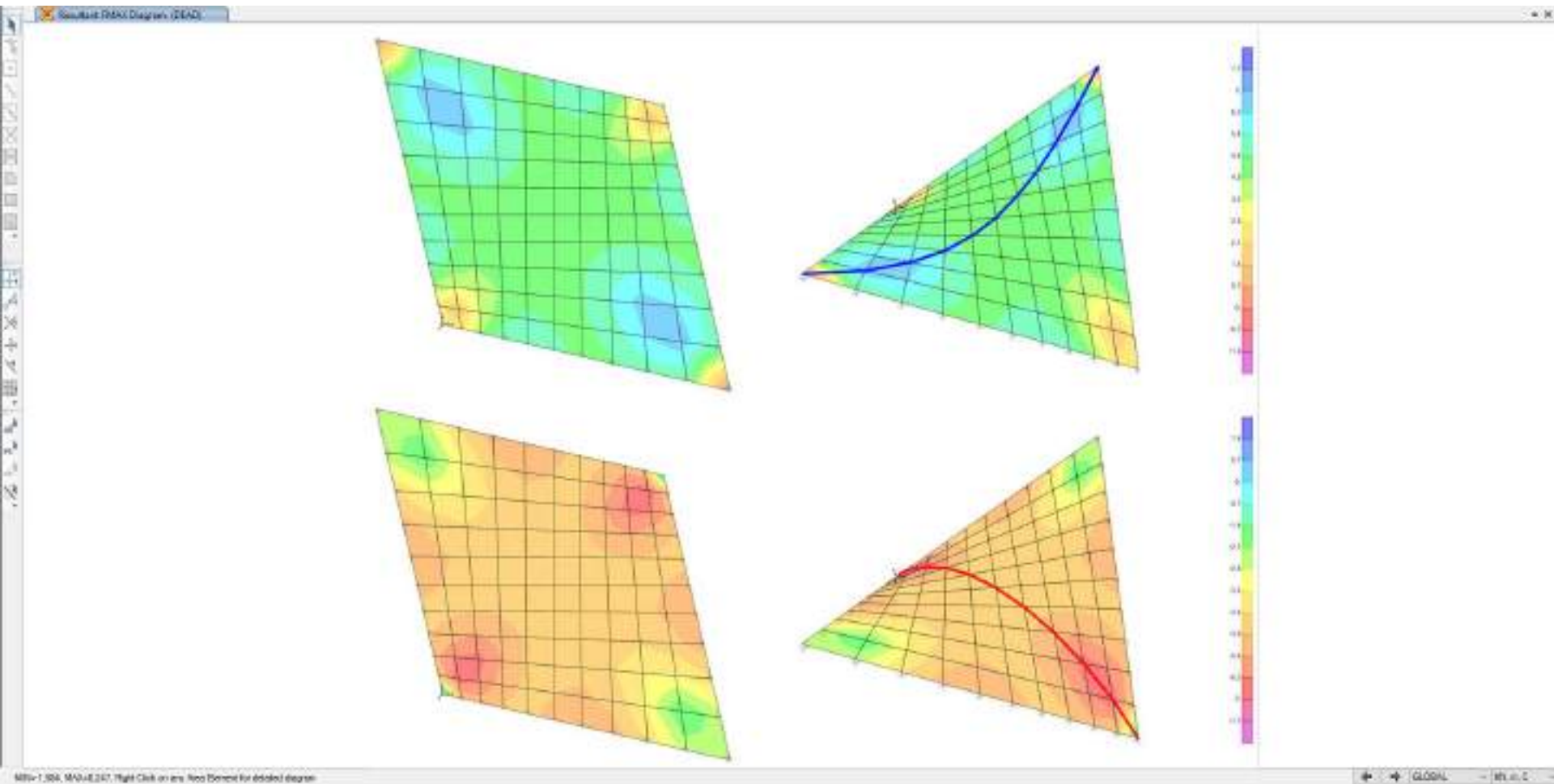
Paraboloide iperbolico





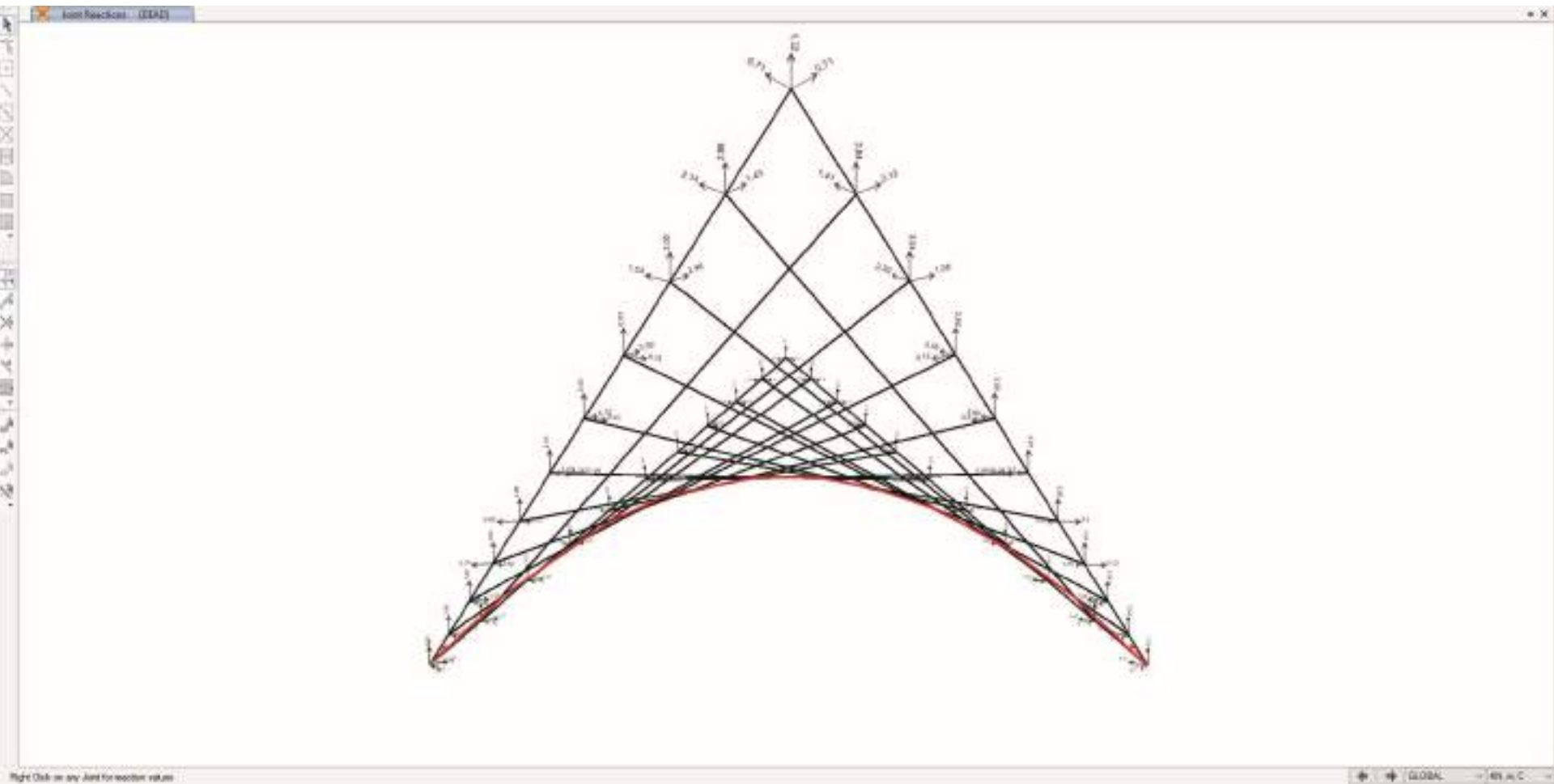
Sollecitazioni di membrana

Paraboloide iperbolico





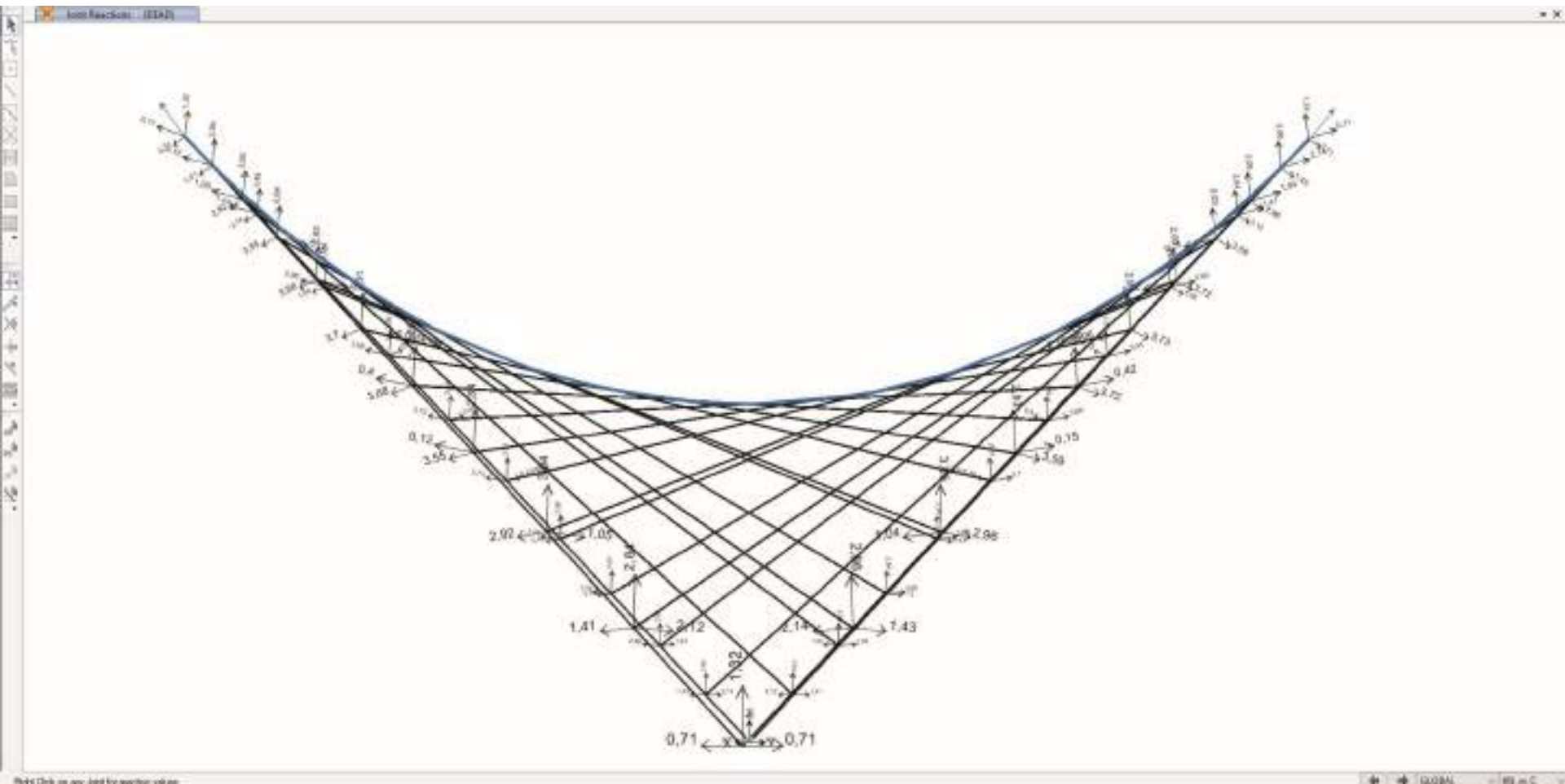
Reazioni vincolari Paraboloide iperbolico



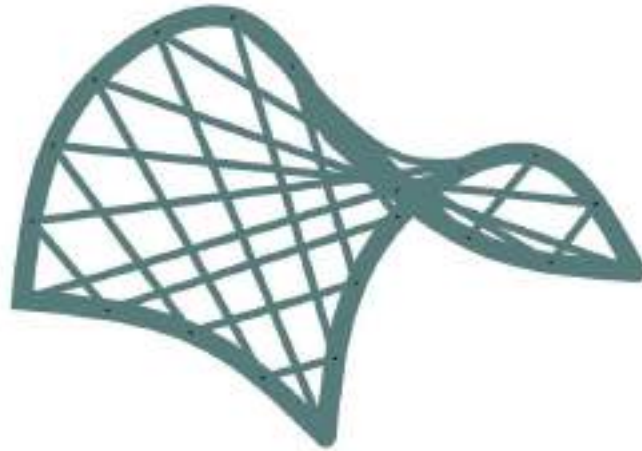


Reazioni vincolari

Paraboloide iperbolico



Reticolari spaziali monolayer





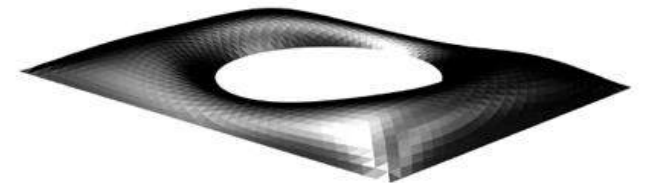
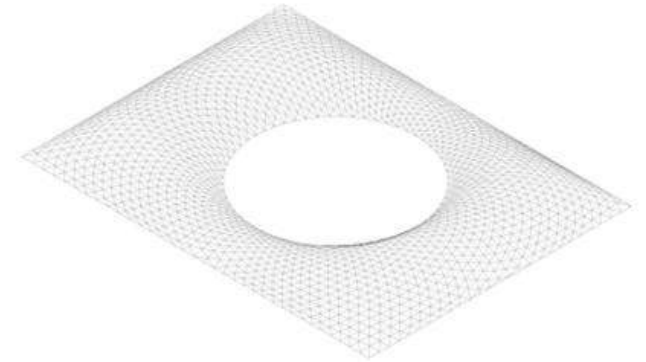
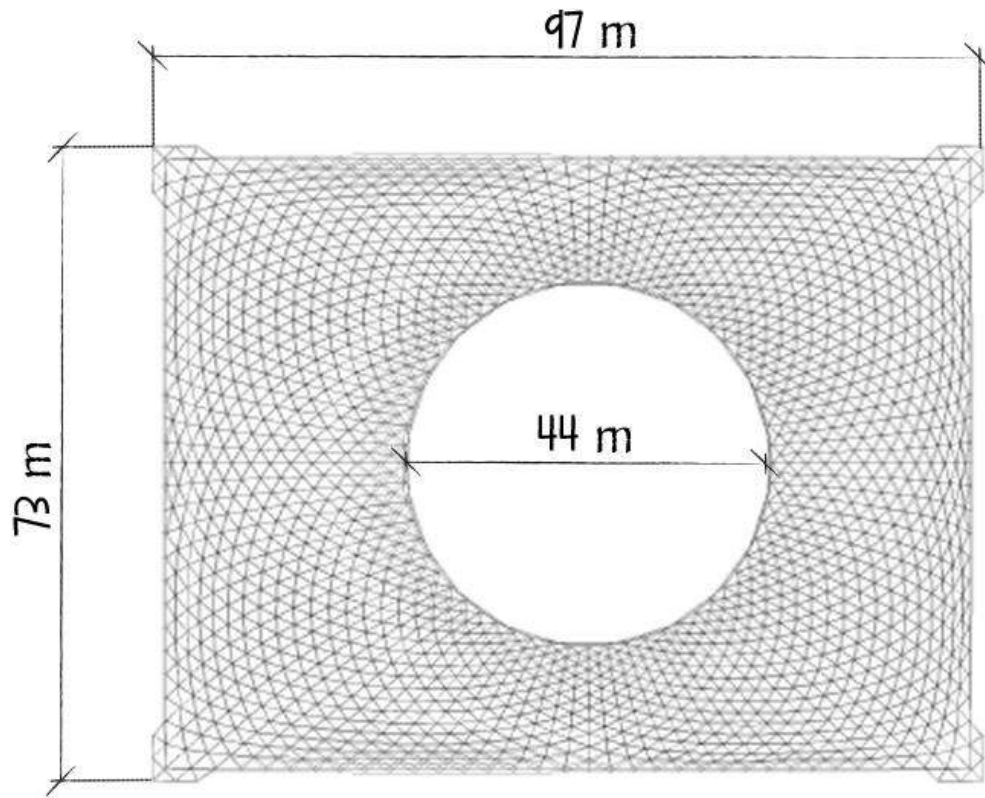
Great court at british museum londra | 2000 | N. Foster





Geometria

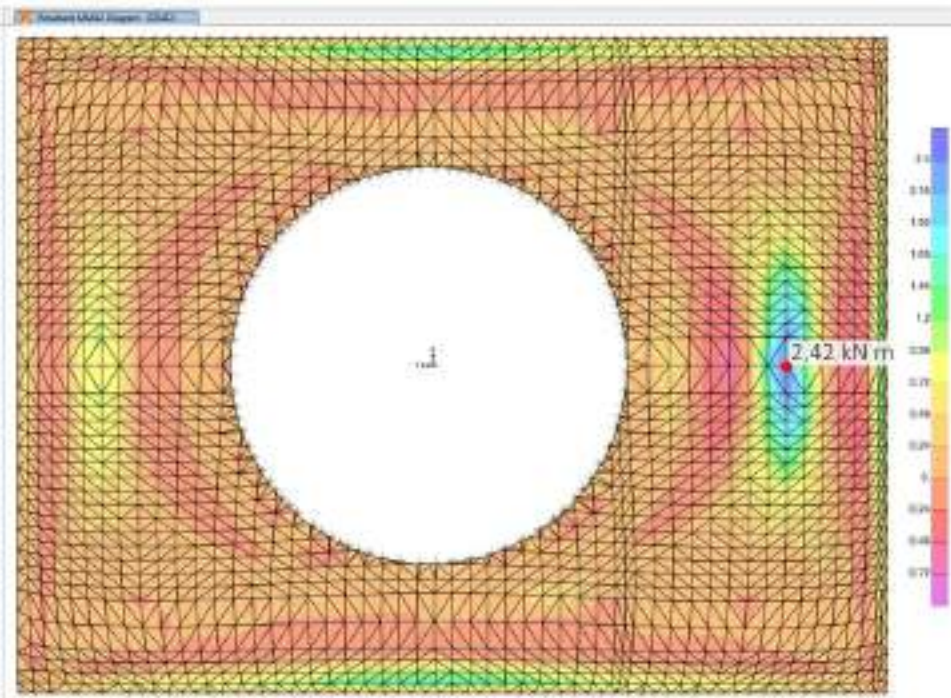
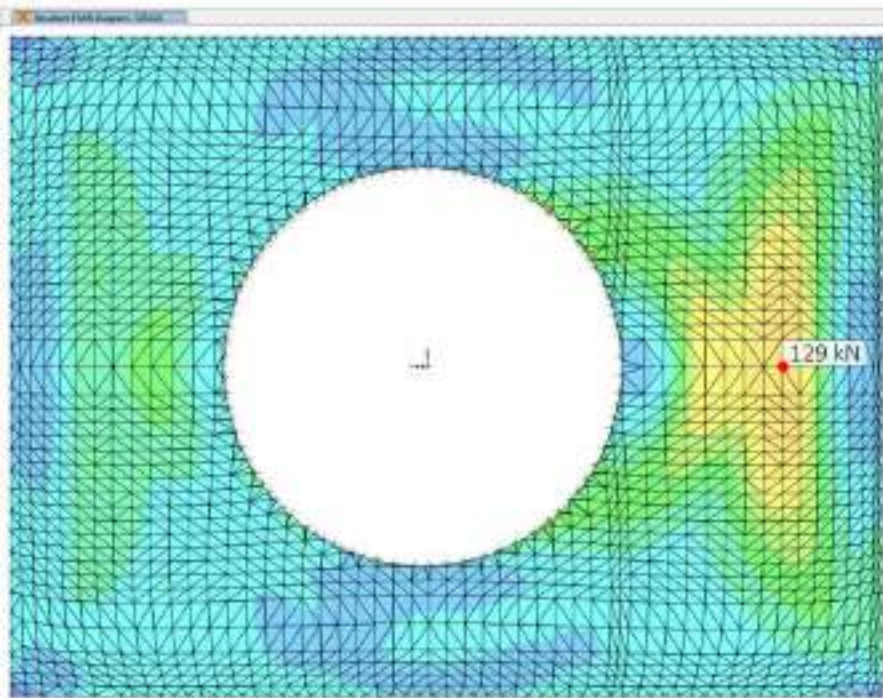
Great court at british museum



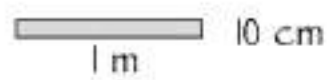


Tensioni di membrana e tensioni flettenti

Great court at british museum



$$\sigma_m = \frac{129.000 \text{ N}}{100 \cdot 1.000 \text{ mm}^2} = 1,29 \frac{\text{N}}{\text{mm}^2}$$

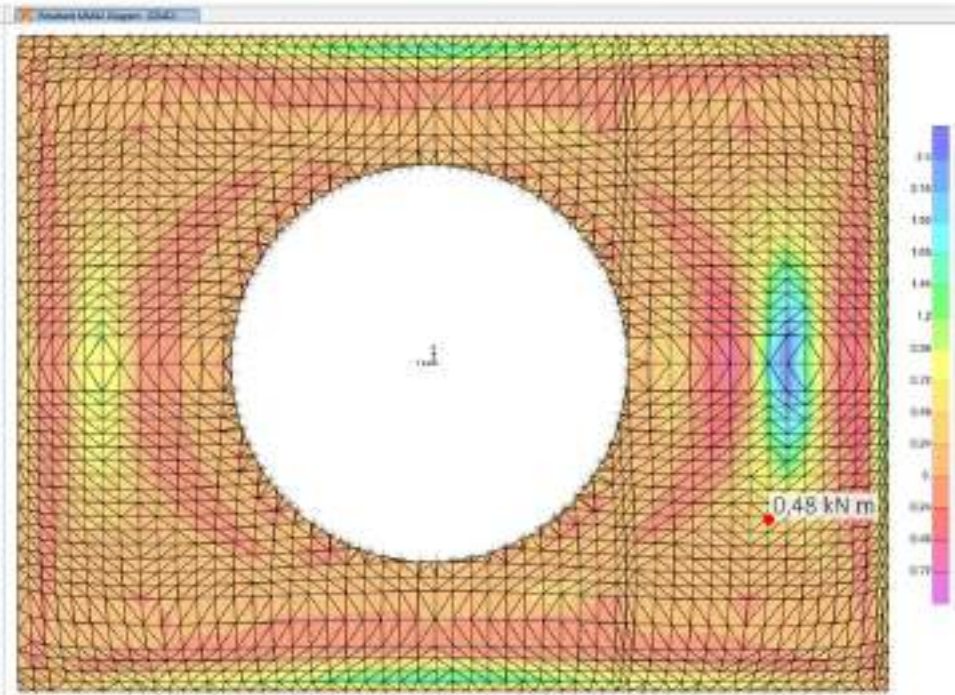
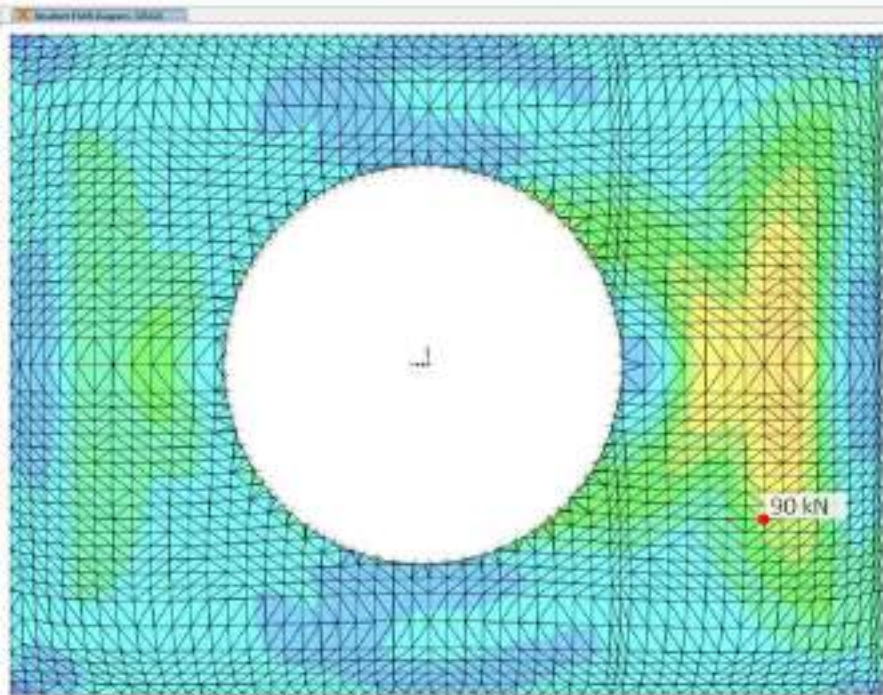


$$\sigma_f = \frac{2.420.000 \text{ N mm}}{1.000 \cdot 10^2 \text{ mm}^3} = 1,45 \frac{\text{N}}{\text{mm}^2}$$



Tensioni di membrana e tensioni flettenti

Great court at british museum



$$\sigma_m = \frac{90.000 \text{ N}}{100 \cdot 1.000 \text{ mm}^2} = 0,90 \frac{\text{N}}{\text{mm}^2}$$

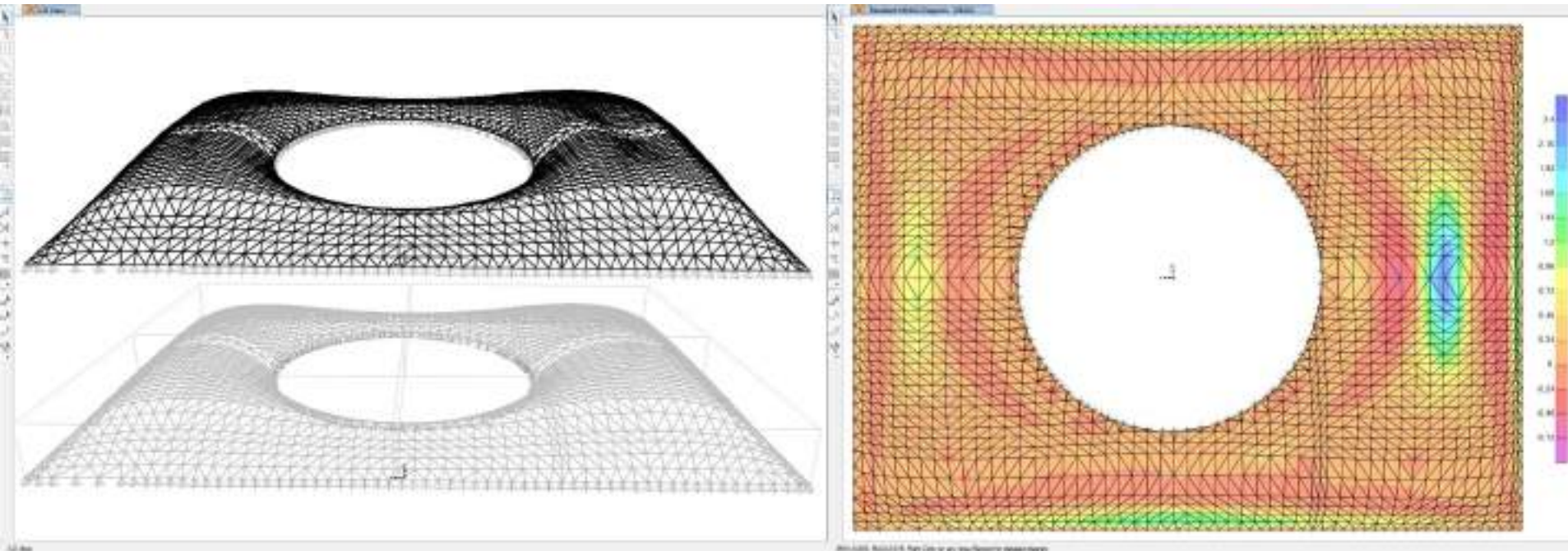
1 m 10 cm

$$\sigma_f = \frac{480.000 \text{ N mm}}{\frac{1.000 \cdot 10^2 \text{ mm}^3}{6}} = 0,30 \frac{\text{N}}{\text{mm}^2}$$



Relazione tra la deformata e il momento flettente

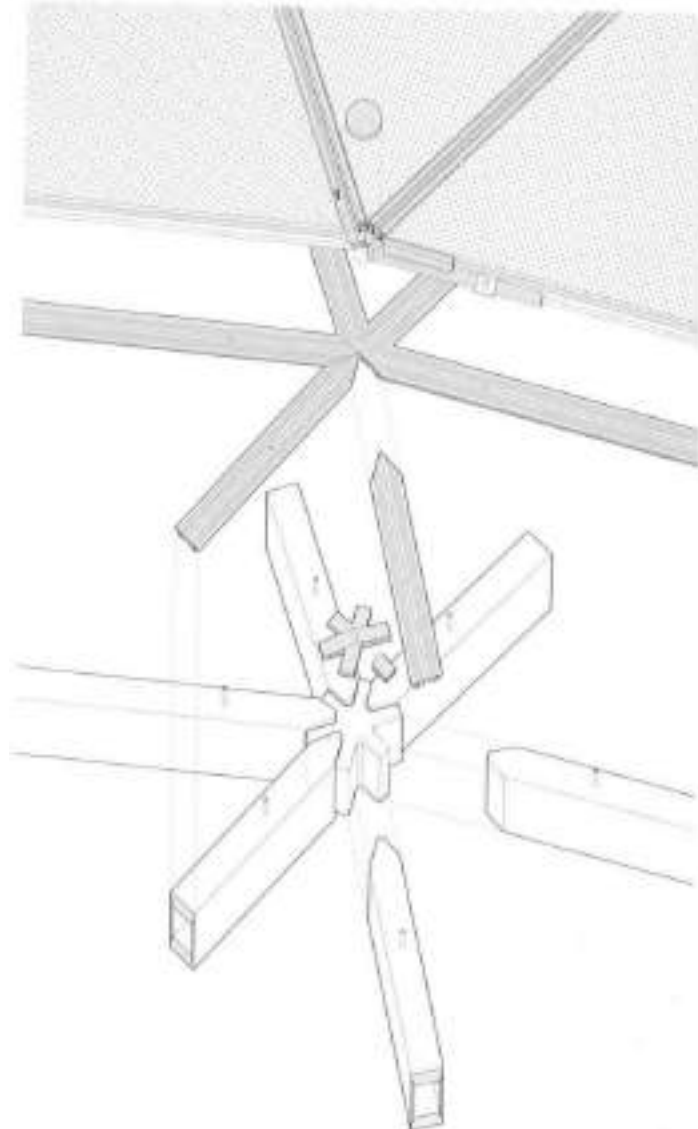
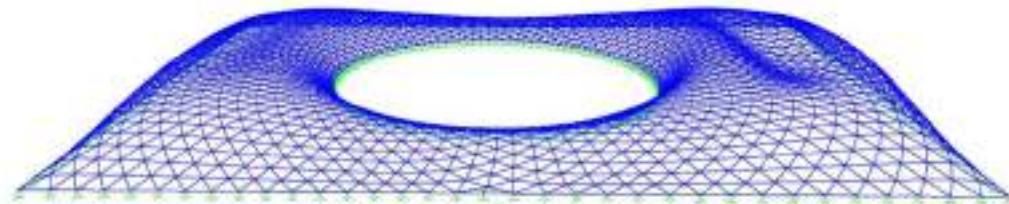
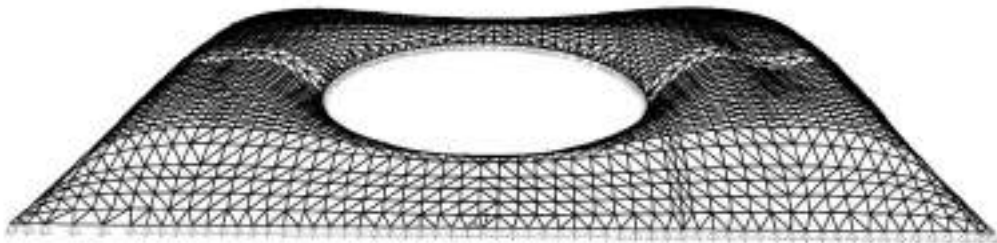
Great court at british museum





Nodo incastro

Great court at british museum





Sollecitazione assiale e momento flettente

Great court at british museum

